

¿Es la nebulosa de Orión luz superradiada de la nebulosa de De Mairan? Conjetura holográfica M43-M42-Sh2-279 y Subconjetura del tercer jet.
Héctor Gengis Arellano Montiel, México, Marzo 2021 - Octubre 2023.

Índice.

I. Introducción.

- I. 1. Puntos fríos.
- I. 2. Formaciones similares de polvo y gas.
- I. 3. M42 como luz expandida, girada y volteada de M43, posible indicio de supersimetría.
- I. 4. Espacio-tiempo entre Sh2-279 y M42 como medio inhomogéneo para propagación de onda.
- I. 5. Sh2-279 posible zona de recolimación, comparación con jet de agujero negro supermasivo y sus desintegraciones.
- I. 6. Conjetura microcuasar-microblazar.
- I. 7. Hacia una estimación de masa.
- I. 8. ¿Es la barra de Orión el contra jet de Sh2-279?
- I. 9. Hipotética perspectiva de jet y contra jet.
- I. 10. Diagrama de Penrose-Carter como incrustado en AdS5.
- I. II. Anexos Matemáticos.
- I. II. 1. Hipotética transformación conforme.
- I. II. 2. Sh2-279 como radiación en tesseracto y la flecha del tiempo. Hacia una descripción geométrica.
- I. II. 3. Conos de luz Minkowski 4D y $\text{AdS}_{n \geq 5}$ con λ negativo.
- I. II. 4. Hipotéticos casos de Reissner-Nordström y Kerr-Newman con censura cósmica y evidencia empírica de horizontes de sucesos no fusionados.

II. Conjetura. Sh2-279 como jet holográfico por efecto Cherenkov inverso de disco de acreción entre M43 y M42.

- II. 1. Todo jet de singularidad es una holografía de su evento.
- II. 2. Sh2-279 como jet holográfico de suceso M43-M42.
- II. 3. Modelo $\text{AdS}_{n \geq 5}$ con constante cosmológica negativa por debajo de la longitud de Planck, singularidad rotatoria entre M43, Sh2-279 y M42.
- II. 4. Dualidad Maldacena. Conservación de la información por jet de singularidad superradiante o imagen 2D de acontecimiento 4D.
- II. 5. Singularidad giratoria, posible superradiación y universo $\text{AdS}_{n \geq 5}$ con anisotropía.
- II. 6. Hipotética velocidad superlumínica general por agujero de gusano, sin violación local a la velocidad de la luz, percibida como luz adelantada a su fuente.
- II. 7. Modelo unificado de núcleos galácticos activos contra hipotético micro blazar-cuasar.
- II. 8. Hipotético caso de Kerr-Newman con censura cósmica y arquitectura Hs-S-Hs o de horizontes de sucesos no fusionados por preponderancia de masa.
- II. 9. Hipotética filogenia de singularidades deducida por jets.
- II. 10. Hipotéticas subzonas de recolimación.
- II. 11. Jets Blandford-Znajek de microcuasar como cascada por e^\pm aniquilándose.
- II. 12. Una interpretación holográfica de jet estándar. Todo jet es una forma de holografía especular de su disco de acreción.

III. Posibles comprobaciones y Teoría M.

- III. 1. ¿Estrella tipo O capturada por Kerr?
- III. 2. Posible Proceso Penrose de luz de M43 subdividido en holograma dextrógiro M42 y su efecto Cherenkov o jet levógiro Sh2-279.
- III. 3. Sh2-279 como Jet levógiro e indicios de gravedad arcoíris en análisis de longitudes de onda.
- III. 4. Especulación físico-química por astronomía de infrarrojo lejano. Posible nucleosíntesis por espalación de rayos cósmicos revelada por Kerr.
- III. 5. Ejemplo de evidencia empírica, Serafino (2021).

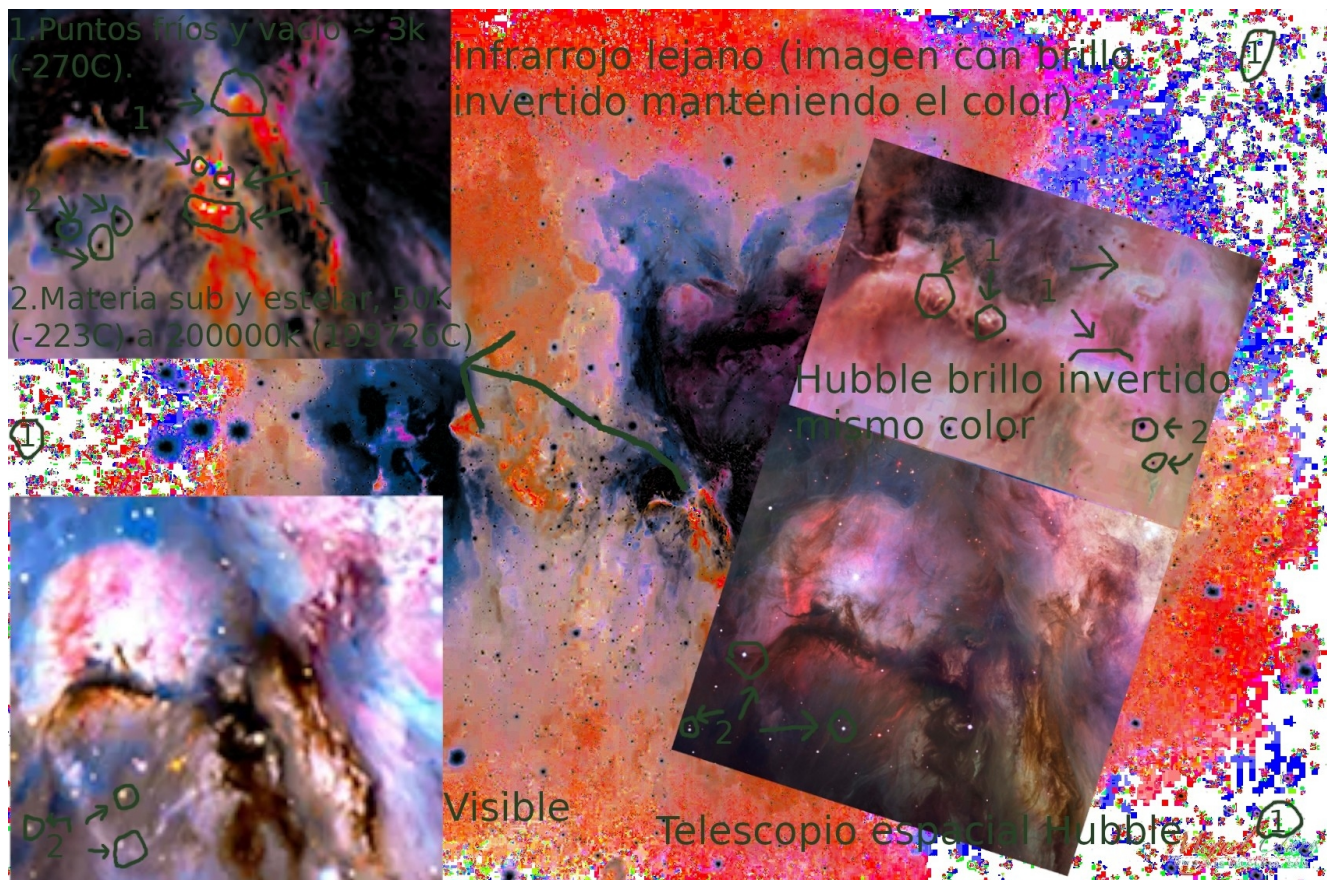
- III. 6. Evidencia empírica, Claro (2021) vs Capell (2023).
- III. 7. Evidencia empírica, autor desconocido (2023).
- III. 8. Evidencia empírica, comparación Martinetz (2023) y Tomaselli (2023).
- III. 9. Comparación de irregularidades térmicas en polvo entre M43 y M42, Claro (2021) y 11 invertidas autores varios 2021-2023.
- III. 10. Ejemplo de evidencia empírica, @chinomoro_astrofotografia (2023).
- III. 11. Conjetura de Kerr-Newman masa estelar a intermedia y su posible decaimiento en Reissner-Nordström por pérdida de momento angular.
- III. 12. Hipotético decaimiento Reissner-Nordström a Schwarzschild, jets vs burbujas de Fermi.
- III. 13. Sh2-279 y Sh2-264 como el mismo microcuasar.
- III. 14. Hipotéticas trayectorias de fotones en proceso Penrose y su ruptura de simetría.
- III. 15. Hipotético espacio-tiempo entorno a Kerr como metamaterial doble negativo.
- III. 16. Hipotéticas condiciones de impacto.
- III. II. Hacia una teoría M.
- III. II. 1. Correspondencia AdS-CFT en Sh2-279.
- III. II. 2. Isotropía de la radiación de fondo de microondas e hipotético eje del mal como evidencia de flecha del tiempo supersimétrica y universo $AdS_{n \geq 5}$.
- III. II. 3. Función de onda monoelectrónica con hipotética flecha de tiempo supersimétrica.
- IV. Subconjetura del tercer jet.
- IV. 1. Temperaturas y longitudes de onda en subconjetura del tercer jet.
- IV. 2. Subconjetura de estelares a intermedio.
- IV. 3. M43, M42 y Sh2-279 , estrellas y galaxias censuradas.
- IV. 4. Tercer jet como microblazar Sh2-276, estrellas y galaxias censuradas.
- IV. 5. Especulación 5D. Estrellas locales y galaxias de fondo censuradas.
- IV. 6. Continuidad en el infrarojo entre M42 y Sh2-276.
- IV. 7. ¿Tiene el universo curvatura constante? Curvatura constante reduciéndose y expandiéndose en tercer jet. Comparación Sh2-279 con zona de recolimación de cuásar y luz no estelar de M42 como tercer jet.
- IV.8. $v \geq c$?
- IV.9. ¿Promueve el microblazar M42 - Sh2-276 la formación de estrellas T Tauri?
- IV.10. Gamma en NGC 2071, hipotético proceso Penrose, ganancia de masa y ruptura de simetría.
- IV.11. ¿Son NGC 2024 y Barnard 33 holografía de microblazar en polvo y estrellas locales? Hipotético vector M42-NGC 2071.

Introducción.

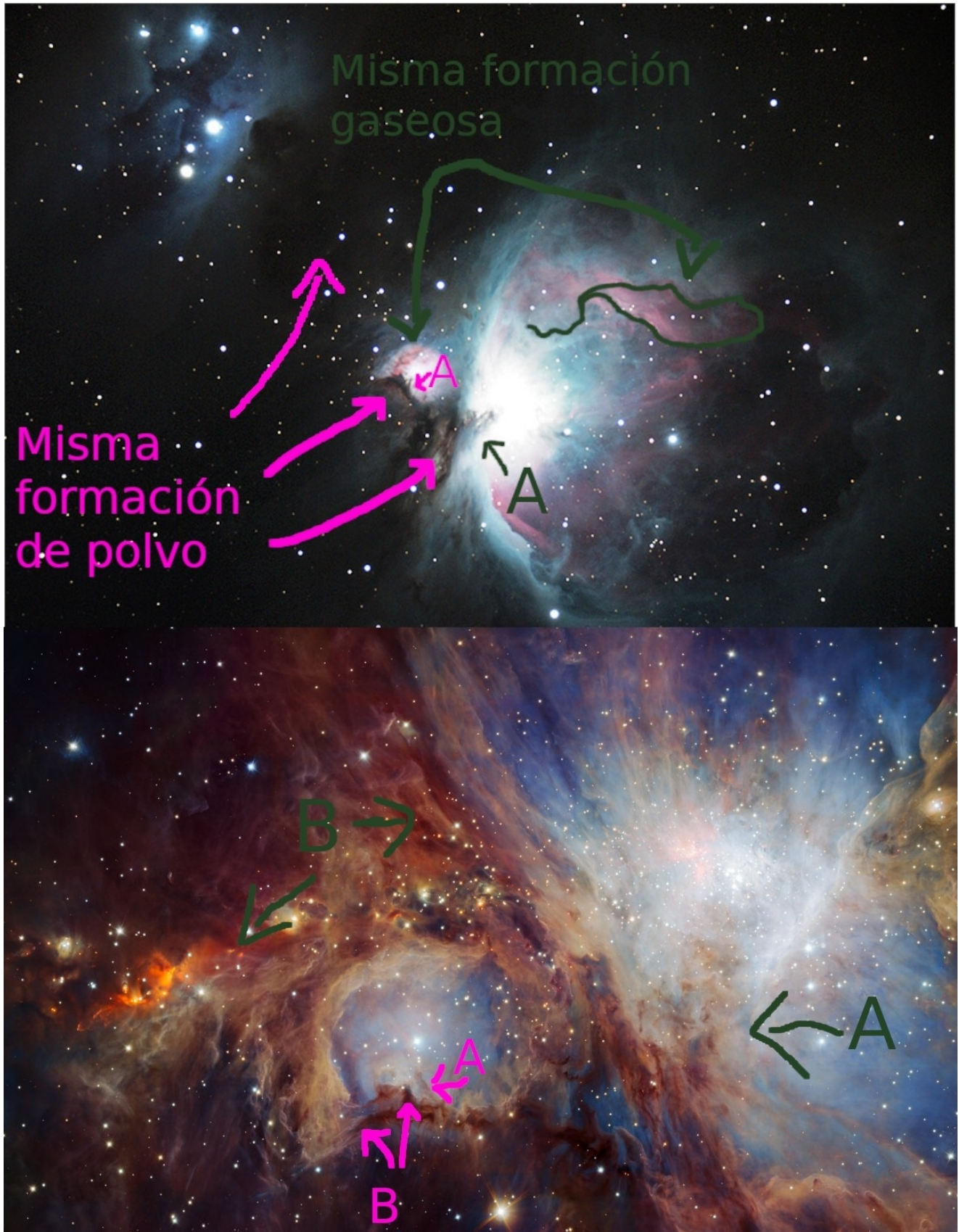
El presente ejercicio especulativo está formado por un conjunto de ideas heterogéneas en distintos grados especulativas, desde las más aceptadas por la comunidad científica a las menos, sólo para intentar dar una explicación coherente a una inquietante percepción personal.

Este cuento no es para quien con ignorancia y soberbia corrige y hasta reprime, sea en cambio para quien imagina y sueña. Para todo espíritu manso en la paz pero indoblegable en la adversidad.

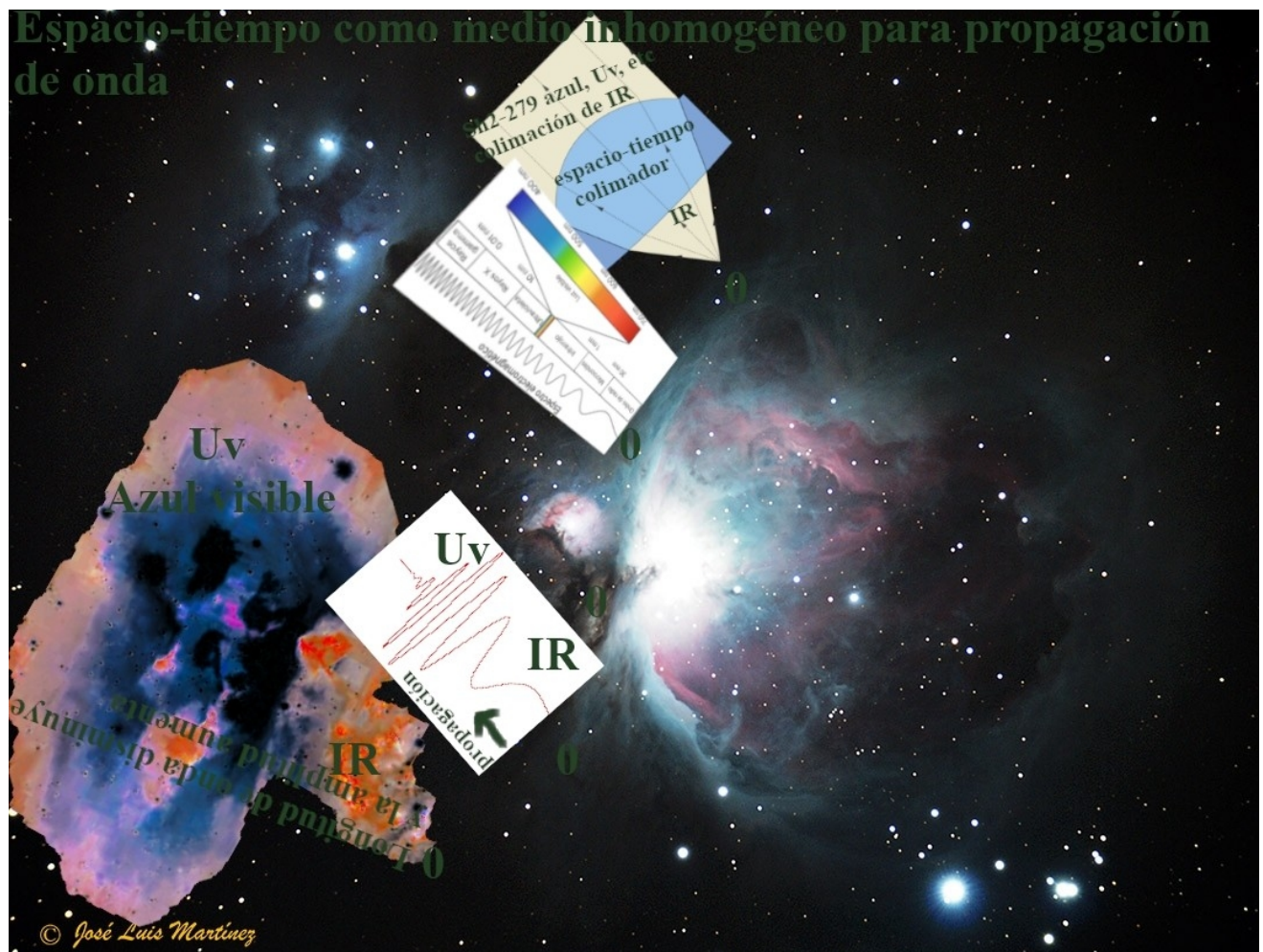
I. 1. Puntos fríos.



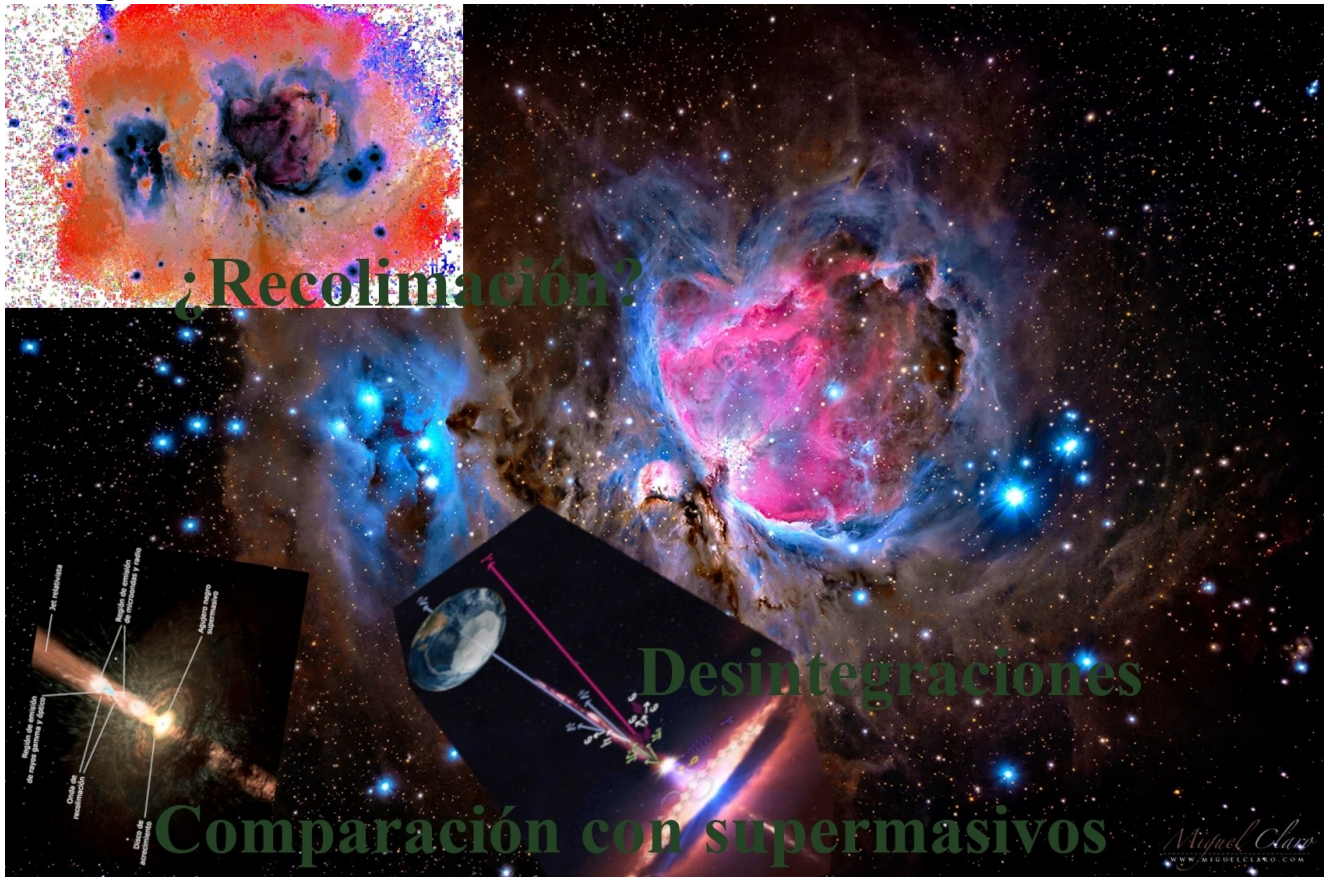
I. 2. Formaciones similares de polvo y gas.



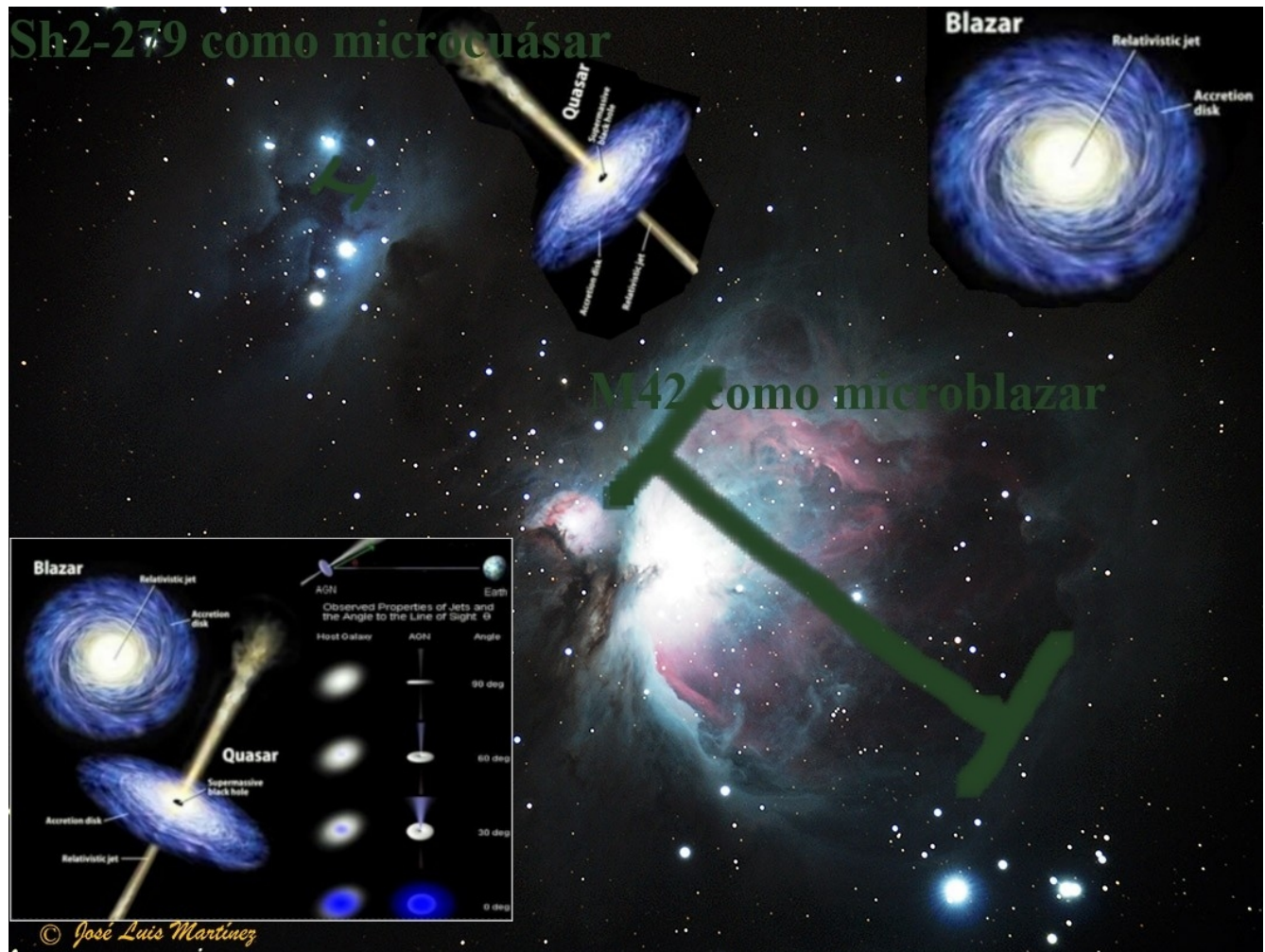
I. 4. Espacio-tiempo entre Sh2-279 y M42 como medio inhomogéneo para propagación de onda.



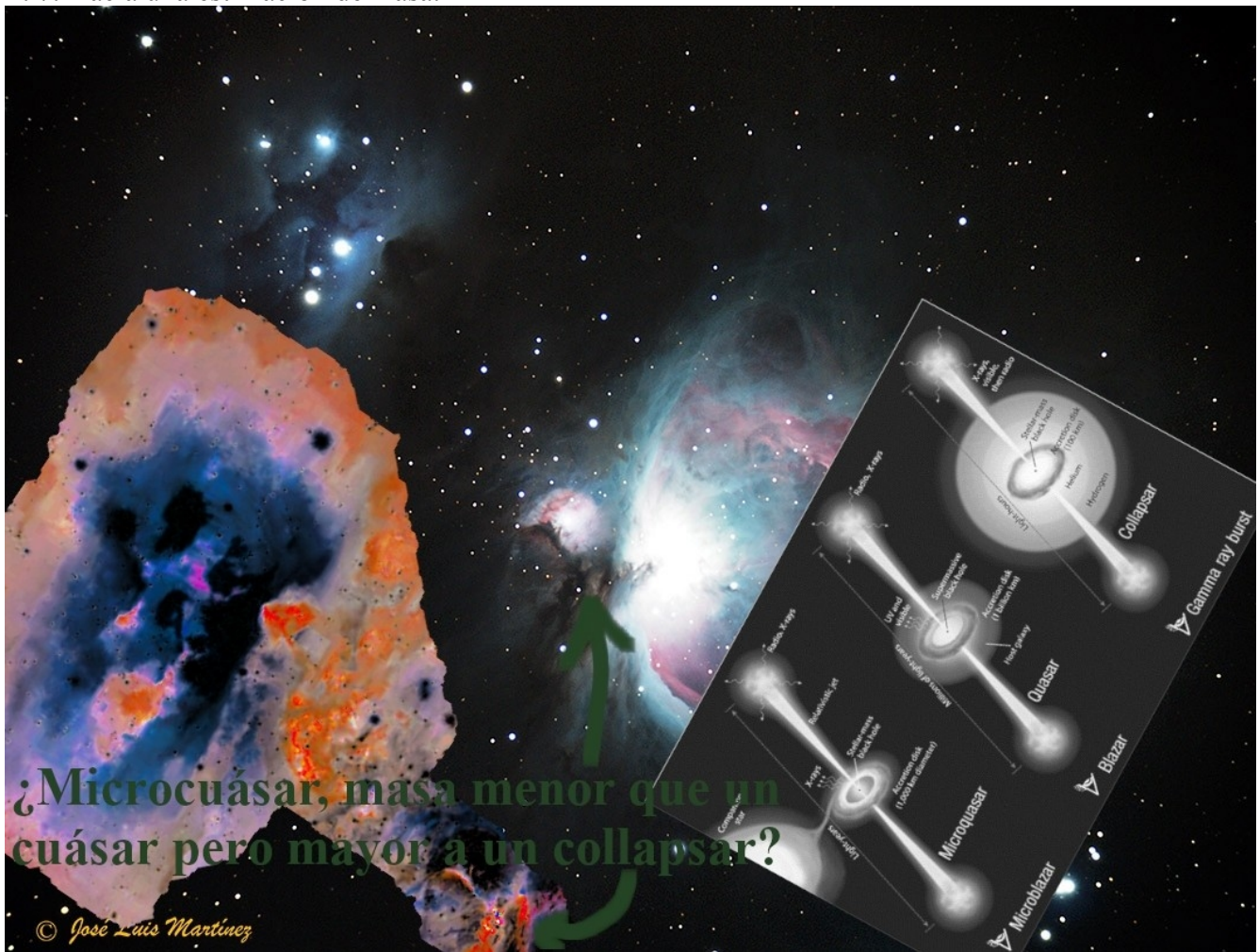
I. 5. Sh2-279 posible zona de recolimación, comparación con jet de agujero negro supermasivo y sus desintegraciones.



I. 6. Conjetura microcuasar-microblazar.



I. 7. Hacia una estimación de masa.



Parte de la luz y polvo de M43 como material de disco de acreción en lugar de estrella compañera.

I. 8. ¿Es la barra de Orión el contra jet de Sh2-279?



I. 9. Hipotética perspectiva de jet y contra jet.



Diagram illustrating the concept of a "Jet holográfico" (holographic jet) in the context of the M43 and M42 nebulae.

The diagram shows a central nebula (M43/M42) with a bright core. Surrounding the core are several smaller, tilted rectangular panels, each representing a different spectral or filtered view of the same region, labeled with "Suceso" (Event), "Ab" (Absorption), and "Hs" (Hydrogen).

On the left, a large, blue, curved structure represents the "Jet holográfico". It is labeled with "Luz de M43 entrando" (Light from M43 entering), "Hs", "Ab", and "Luz saliendo como M42" (Light leaving as M42). The structure is composed of concentric, curved lines, suggesting a wave-like or holographic nature.

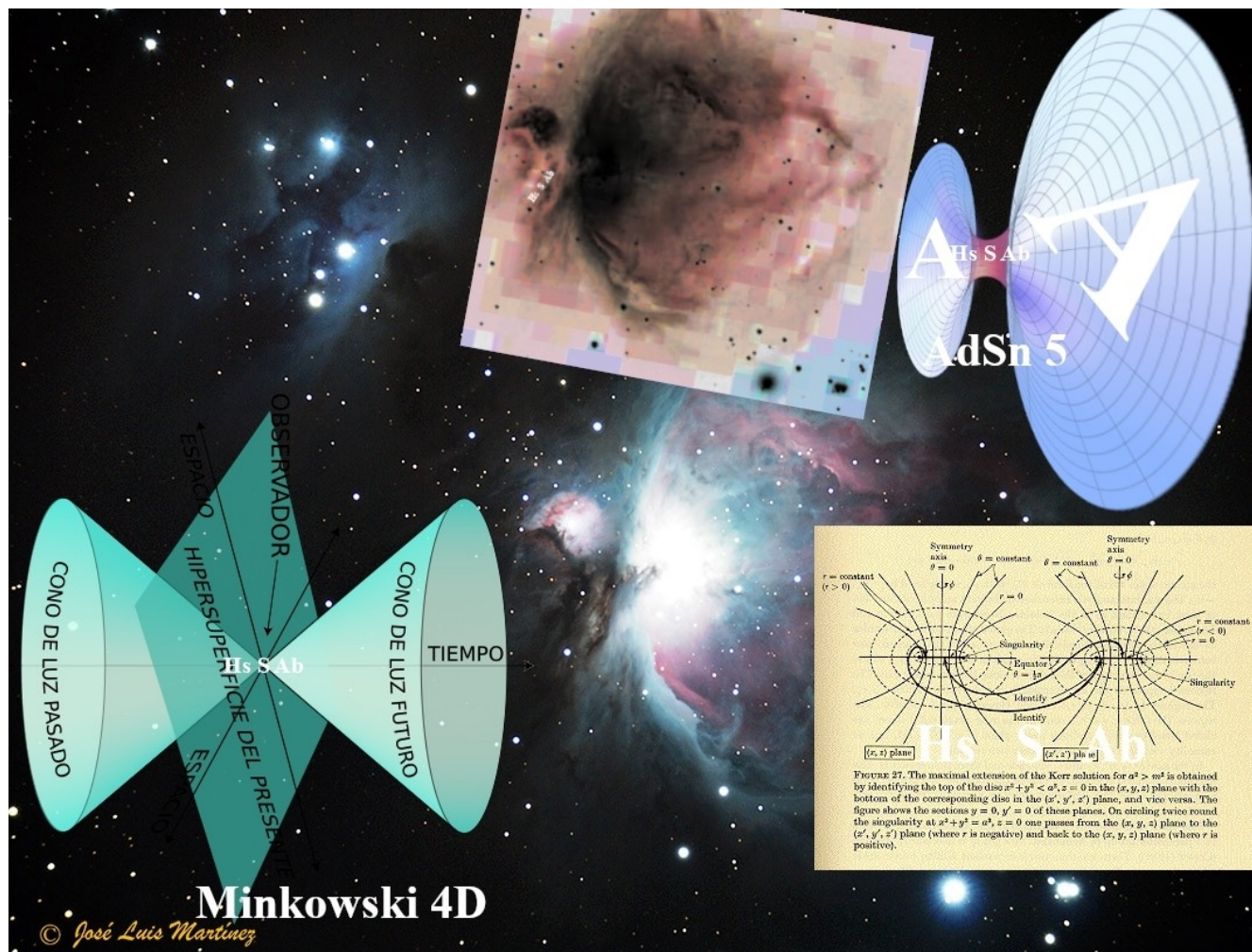
The background is a starry field, indicating the nebula's location in space.

© José Luis M.

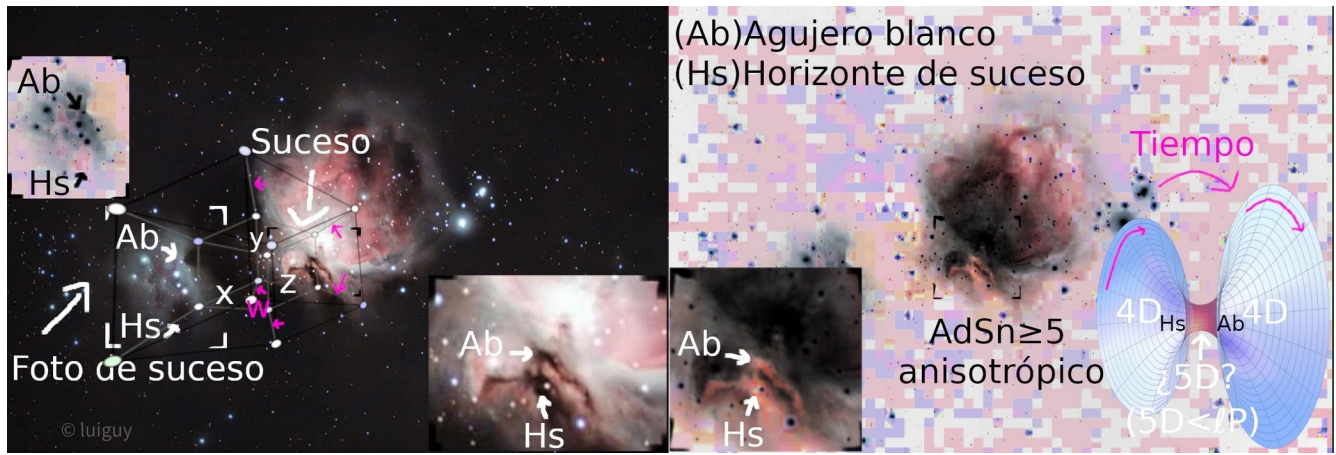
© José Luis M.

I. II. Anexos matemáticos.

I. II. 1. Hipotética transformación conforme.



I. II. 2. Sh2-279 como radiación en tesseracto y la flecha del tiempo. Hacia una descripción geométrica.



Todo lo que ocurre en cuatro dimensiones (objetos 3D en movimiento, historias o sucesos) puede ser descrito con información 2D de un hiperespacio 5D. En la imagen, Sh2-279 como información radiada en hiperpared de cuarto 5D (techo), mientras la singularidad y sus geodésicas de entrada y salida pueden ser vistas como el piso.

I. II. 3. Conos de luz Minkowski 4D y AdSn≥5 con lambda negativo.

61 - Curso de Relatividad General [Anti de Sitter]

OBJETIVO: construir métrica
espaciotiempo $R = \text{constante} < 0$
solución EINSTEIN $\Lambda < 0$
VACÍO

TIEMPO

CONO DE LUZ FUTURO

1-esfera
 $R^2 d\theta^2$
 $x^2 + y^2 = R^2$

OBSERVADOR

ESPACIO

HIPERSUPERFICIE DEL PRESENTE

2-esfera
 $R^2 (d\phi^2 + \sin^2 \phi d\rho^2)$
 $x^2 + y^2 + z^2 = R^2$

CONO DE LUZ PASADO

3-esfera
 $R^2 [d\rho^2 + \cos^2 \rho (d\alpha^2 + \sin^2 \alpha d\beta^2)]$
 $x^2 + y^2 + z^2 + w^2 = R^2$

$-x^2 - y^2 + z^2 = -L^2$

Desplázate hacia abajo para obtener más información

18:12 / 51:23

61 - Curso de Relatividad General [Anti de Sitter]

OBJETIVO: construir métrica
espaciotiempo $R = \text{constante} < 0$
solución EINSTEIN $\Lambda < 0$
VACÍO

TIEMPO

CONO DE LUZ FUTURO

1-esfera
 $R^2 d\theta^2$
 $x^2 + y^2 = R^2$

OBSERVADOR

ESPACIO

HIPERSUPERFICIE DEL PRESENTE

2-esfera
 $R^2 (d\phi^2 + \sin^2 \phi d\rho^2)$
 $x^2 + y^2 + z^2 = R^2$

CONO DE LUZ PASADO

3-esfera
 $R^2 [d\rho^2 + \cos^2 \rho (d\alpha^2 + \sin^2 \alpha d\beta^2)]$
 $x^2 + y^2 + z^2 + w^2 = R^2$

$-x^2 - y^2 + z^2 = -L^2$

Desplázate hacia abajo para obtener más información

18:12 / 51:23

I. II. 4. Hipotéticos casos de Reissner-Nordström y Kerr-Newman con censura cósmica y evidencia empírica de horizontes de sucesos no fusionados.

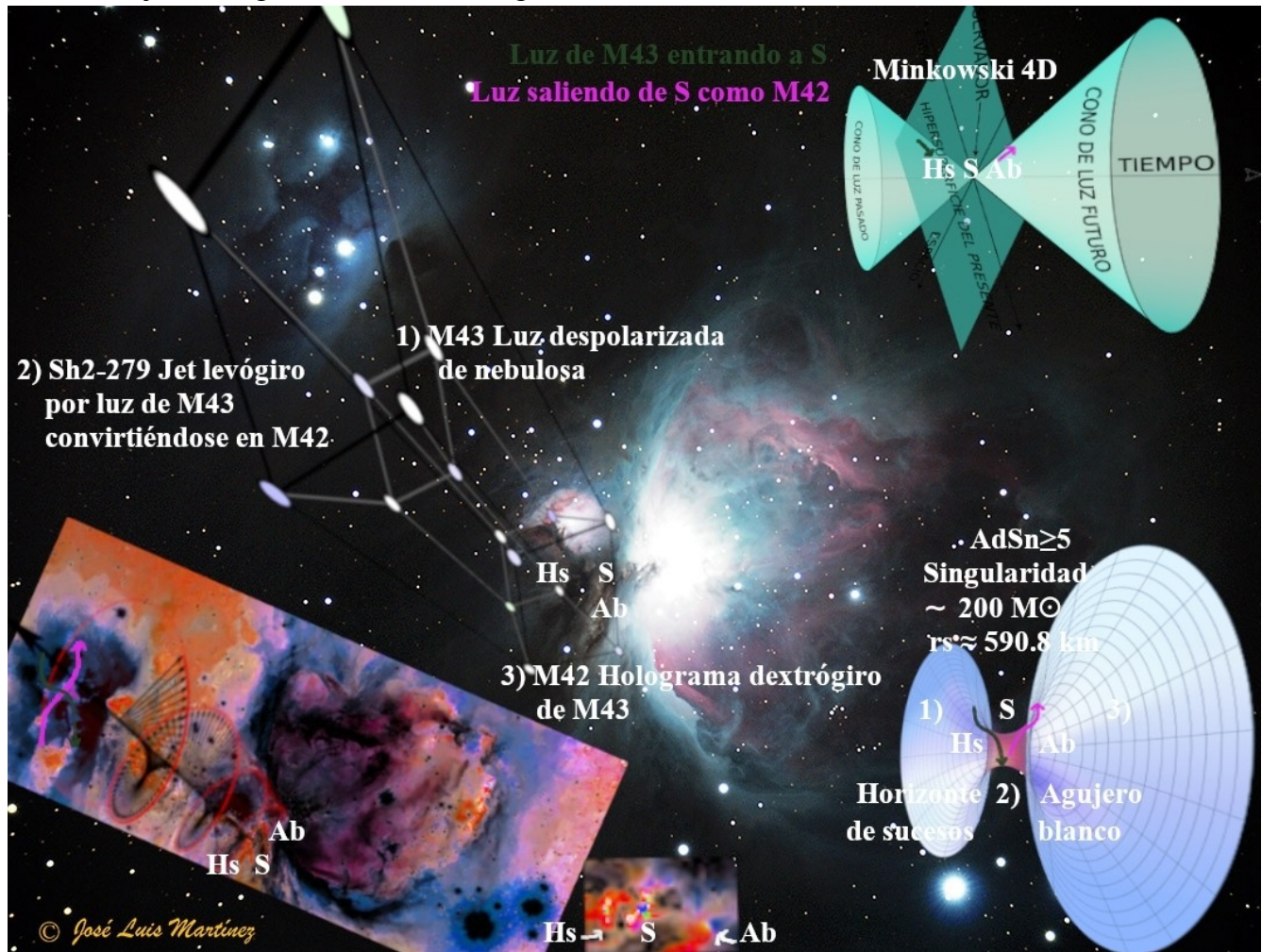
Kerr-Newman
 $M \neq 0$
 $Q \neq 0$
 $J \neq 0$
 $r_g = \frac{2Mm}{JQ}$
 Caso con censura cósmica
 $|Q| \wedge J < M$
 y evidencia empírica de horizontes de suceso no fusionados

Reissner-Nordström
 $M \neq 0$
 $Q \neq 0$
 $J = 0$
 $r = r_{\pm} = \frac{G}{c^2} \left(M \pm \sqrt{M^2 - \frac{Q^2}{4\pi\epsilon_0 G}} \right)$
 Caso con censura cósmica
 $|Q/2\sqrt{\pi\epsilon_0 G}| < M$

© José Luis Martínez

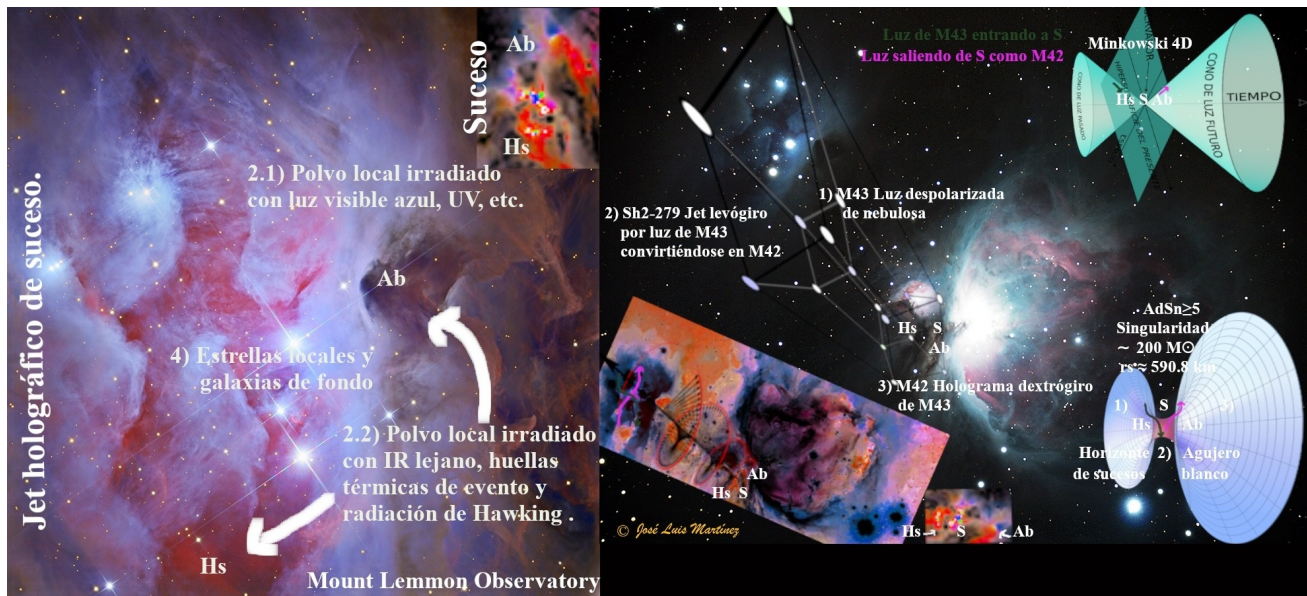
II. Conjetura. Sh2-279 como jet holográfico por efecto Cherenkov inverso de disco de acreción entre M43 y M42.

II. 1. Todo jet de singularidad es una holografía de su evento.



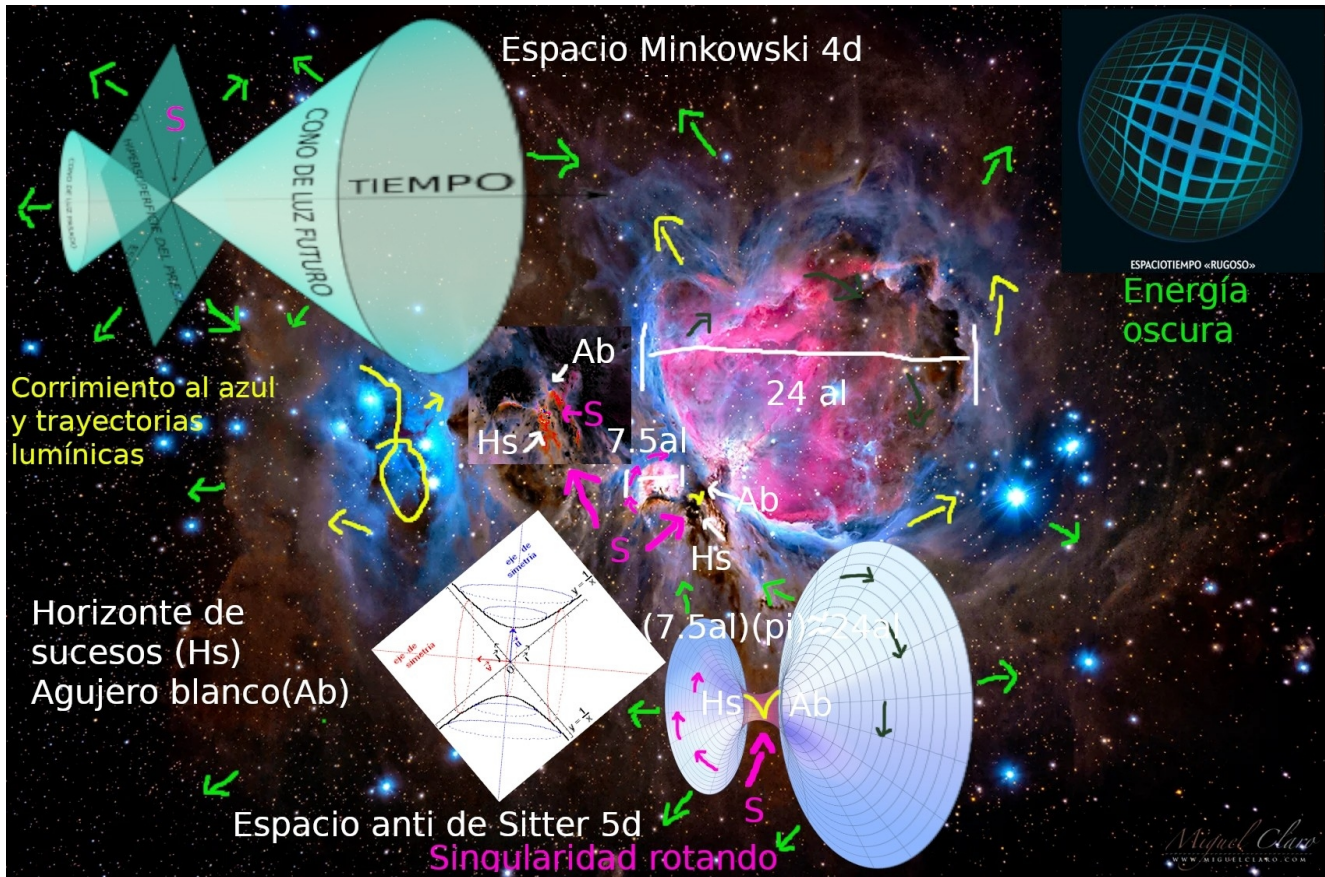
En la imagen, Sh2-279 como jet levógiro en superficie de tesseracto.

II. 2. Sh2-279 como jet holográfico de suceso M43-M42.

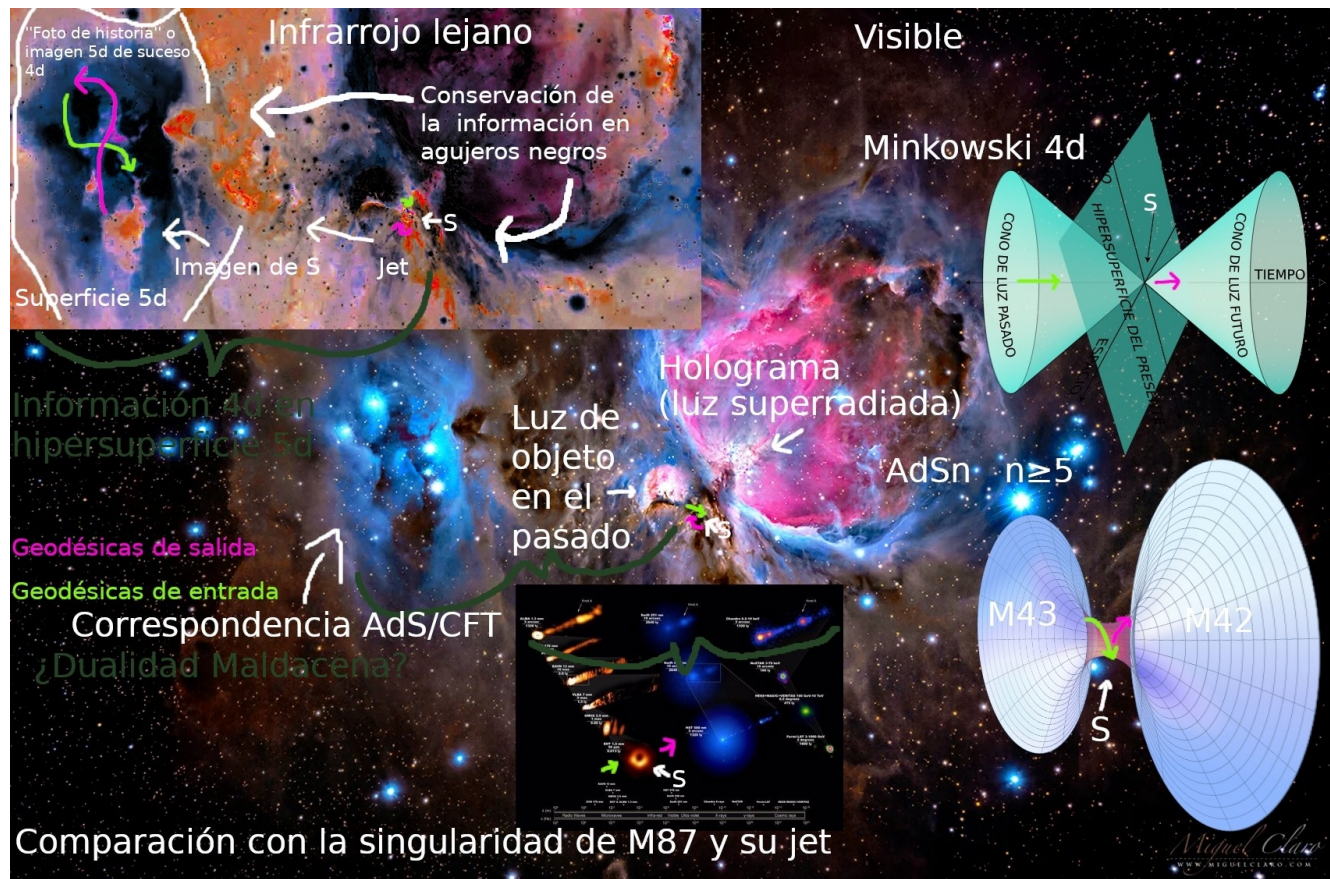


M42 como futuro o luz superradiada de M43 y Sh2-279 el jet con información o mapa detallado de ese posible viaje superlumínico o en el tiempo a través de una dimensión compactificada por debajo de la longitud de Planck.

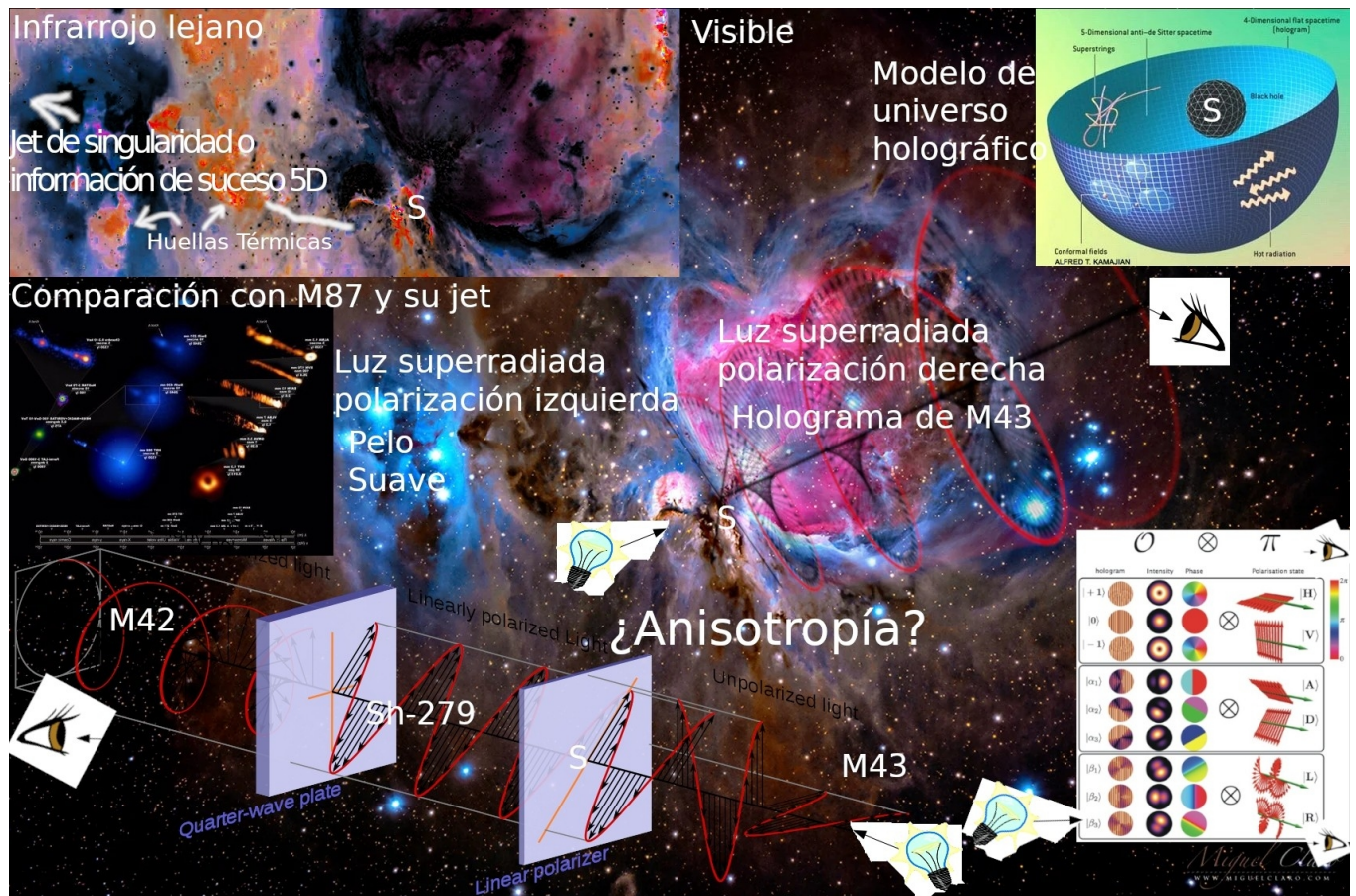
II. 3. Modelo $AdS_{n \geq 5}$ con constante cosmológica negativa por debajo de la longitud de Planck, singularidad rotatoria entre M43, Sh2-279 y M42. Continuidad lumínica entre M43 y M42 de trayectoria superradiada a modo de Sh2-279.



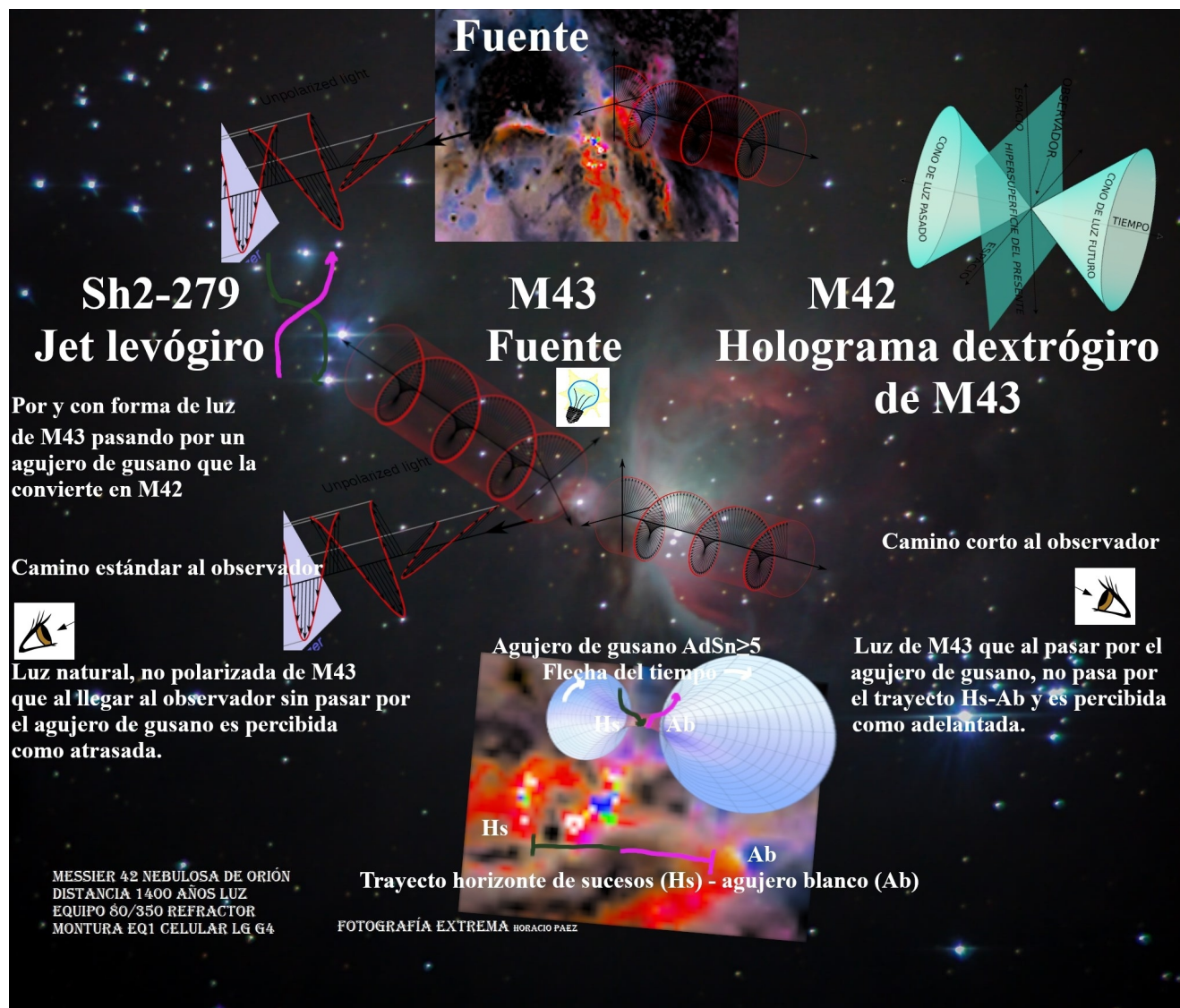
II. 4. Dualidad Maldacena. Conservación de la información por jet de singularidad superradiante o imagen 2D de acontecimiento 4D.



II. 5. Singularidad giratoria, posible superradiación y universo $AdS_{n \geq 5}$ con anisotropía.



II. 6. Hipotética velocidad superlumínica general por agujero de gusano, sin violación local a la velocidad de la luz, percibida como luz adelantada a su fuente.



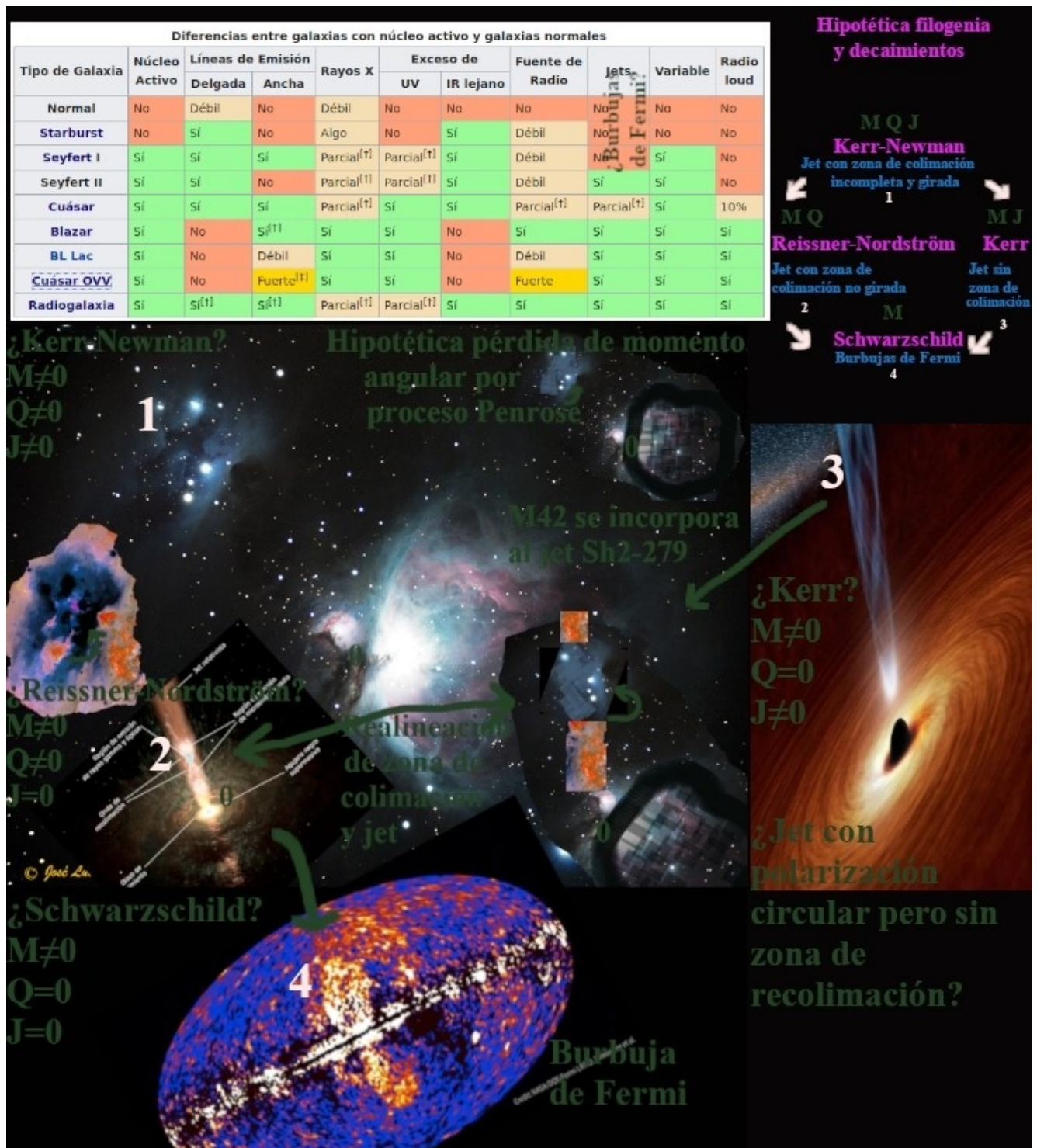
II. 7. Modelo unificado de núcleos galácticos activos contra hipotético micro blazar-cuasar.



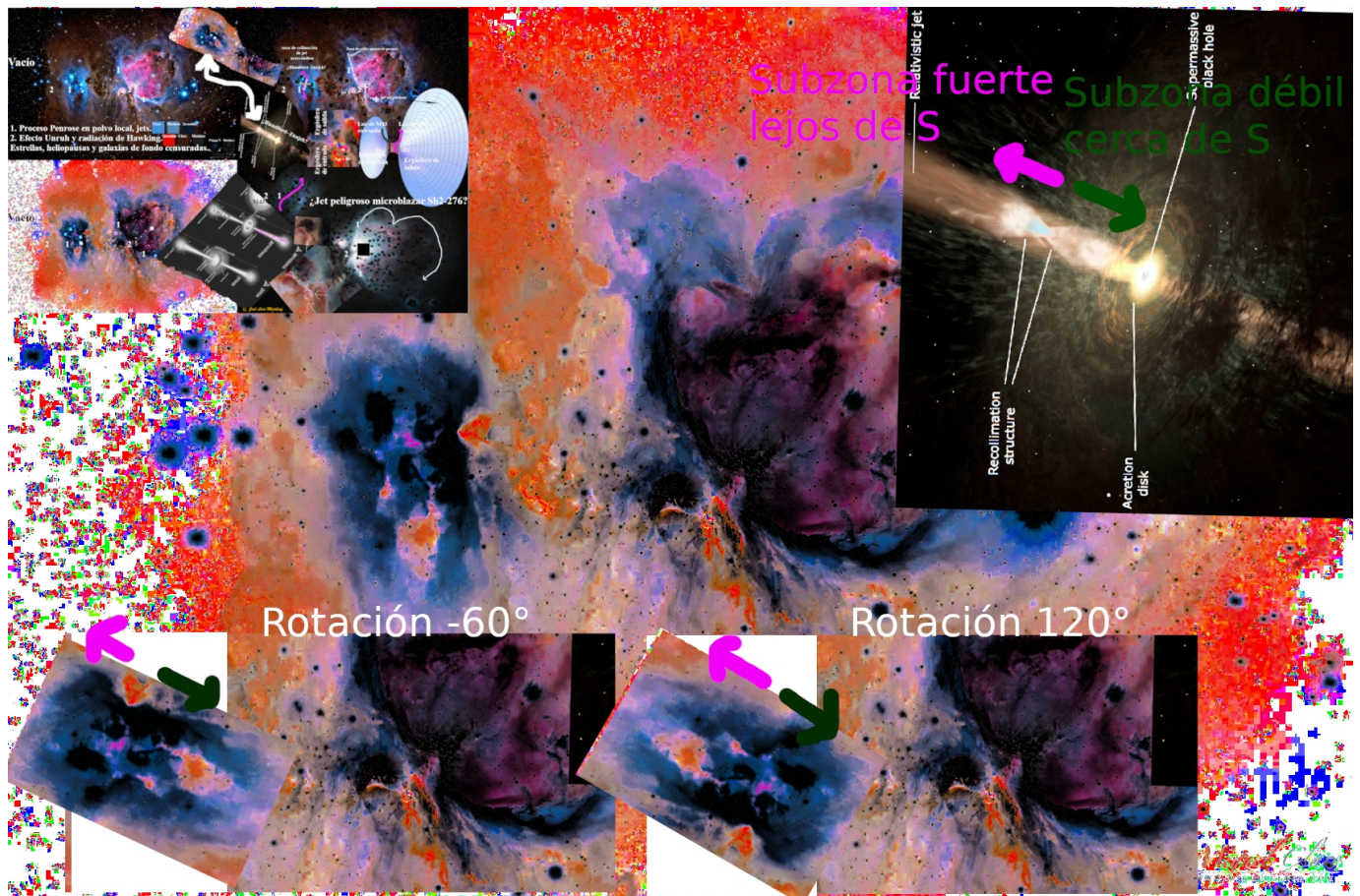
II. 8. Hipotético caso de Kerr-Newman con censura cósmica y arquitectura Hs-S-Hs o de horizontes de sucesos no fusionados por preponderancia de masa.



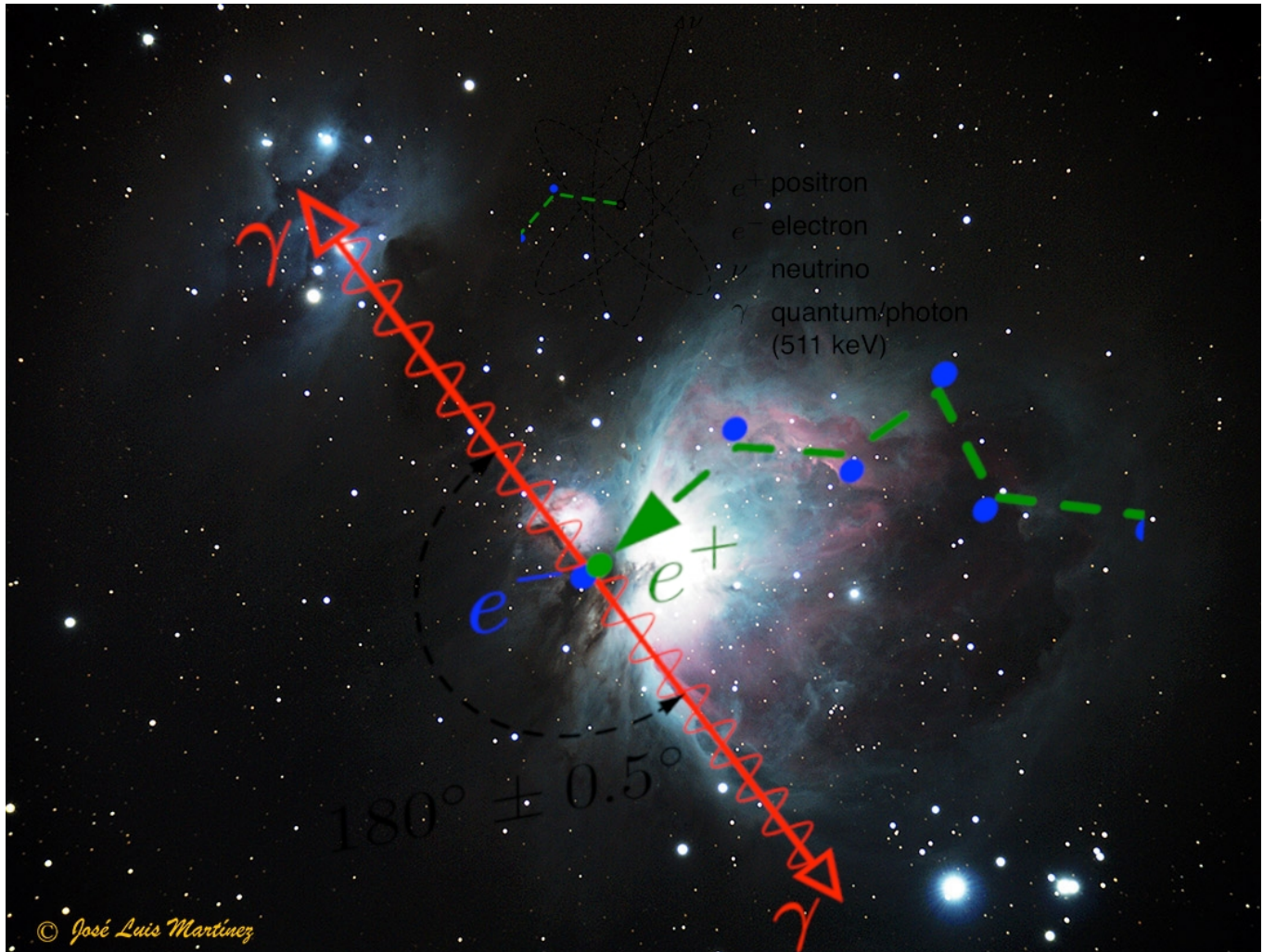
II. 9. Hipotética filogenia de singularidades deducida por jets.



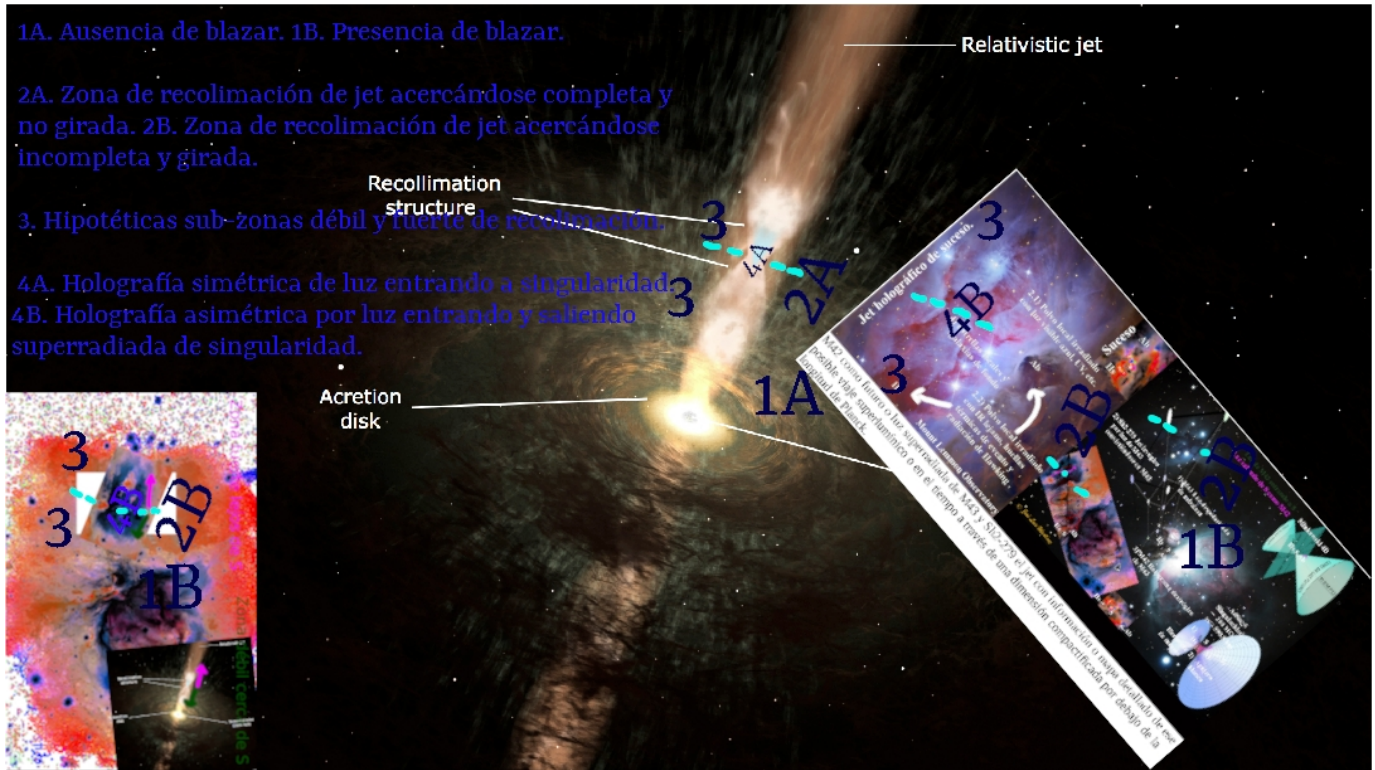
II. 10. Hipotéticas subzonas de recolimación.



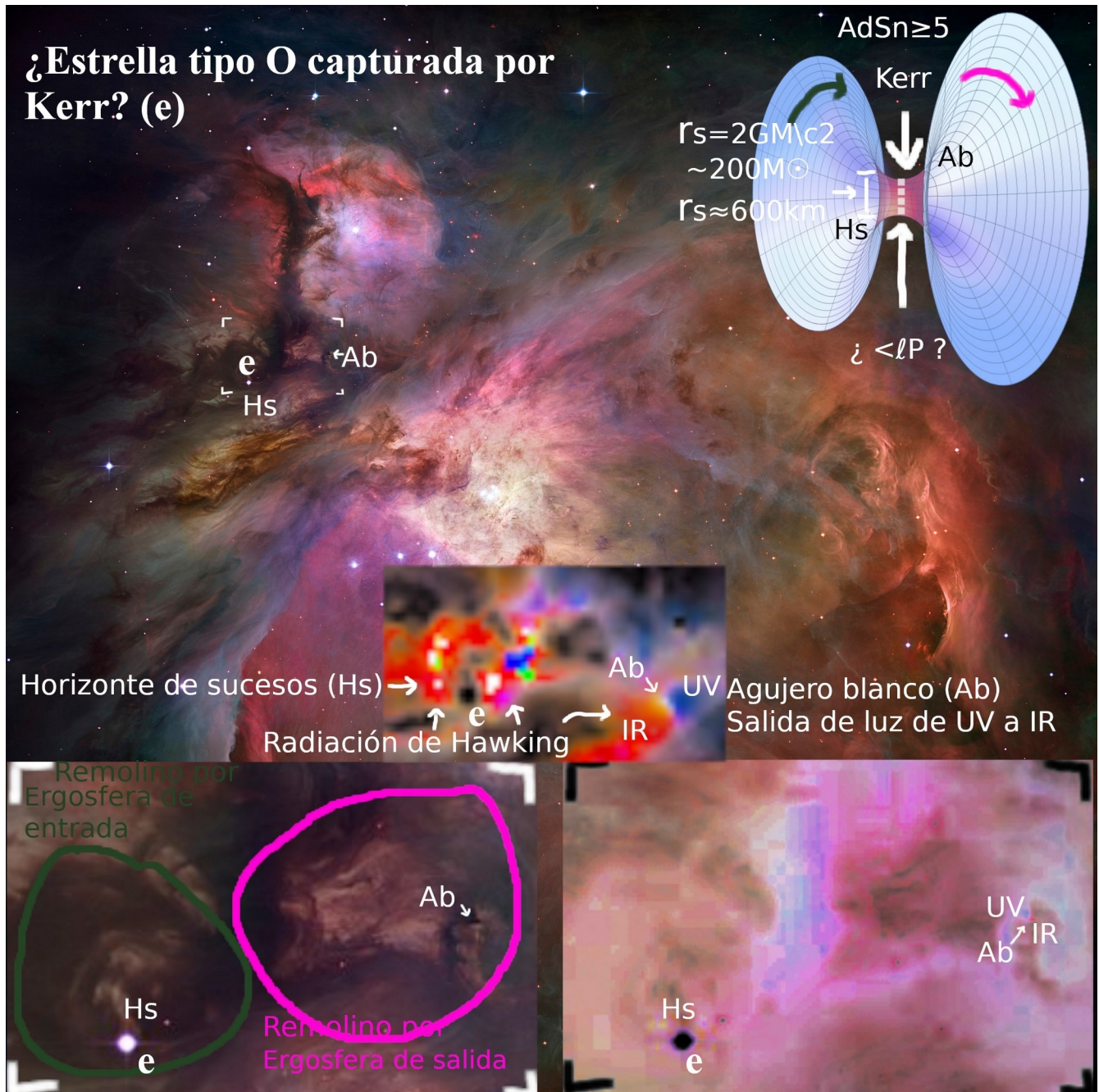
II. 11. Jets Blandford–Znajek de microcuasar como cascada par e^\pm aniquilándose.



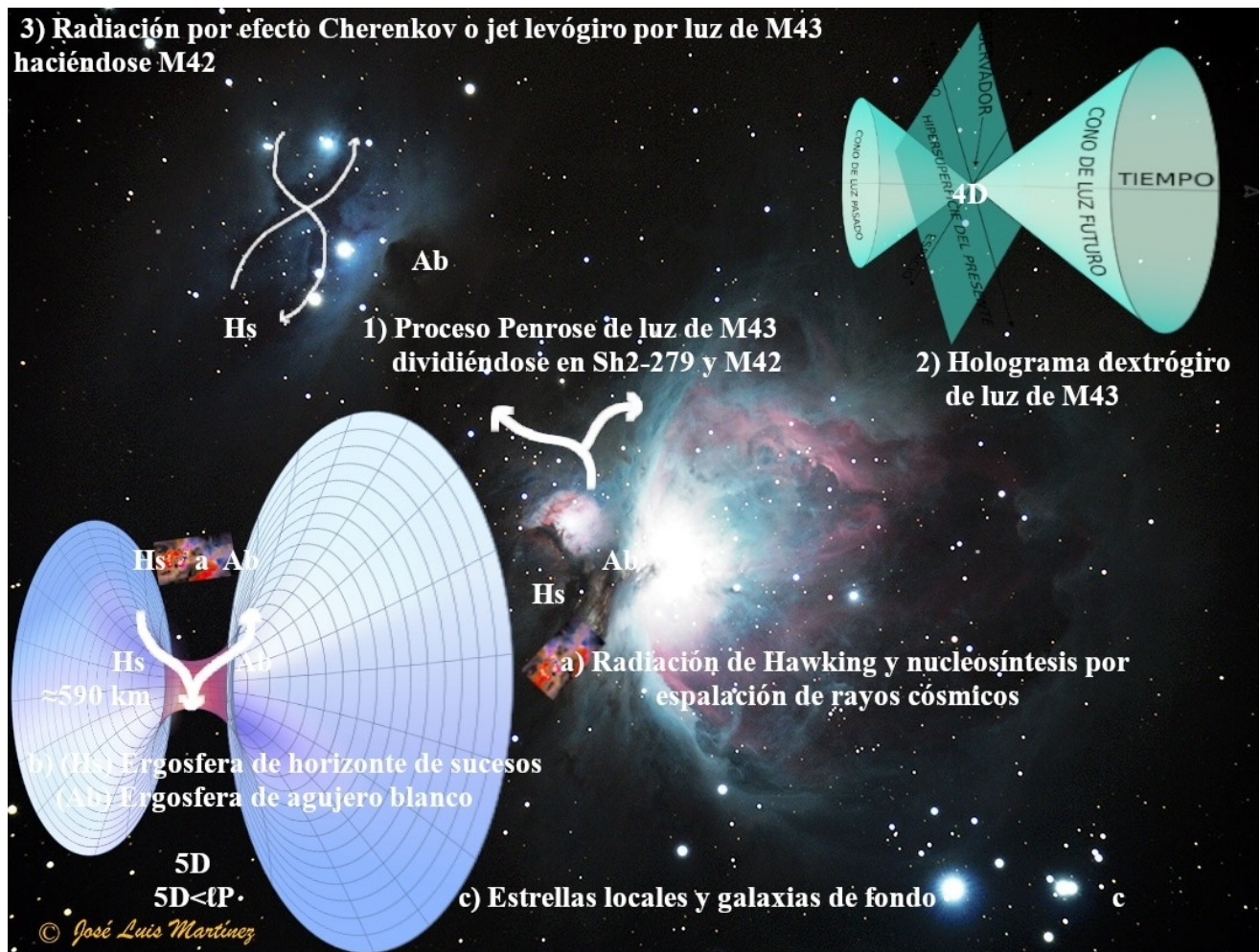
II. 12. Una interpretación holográfica de jet estándar. Todo jet es una forma de holografía especular de su disco de acreción.



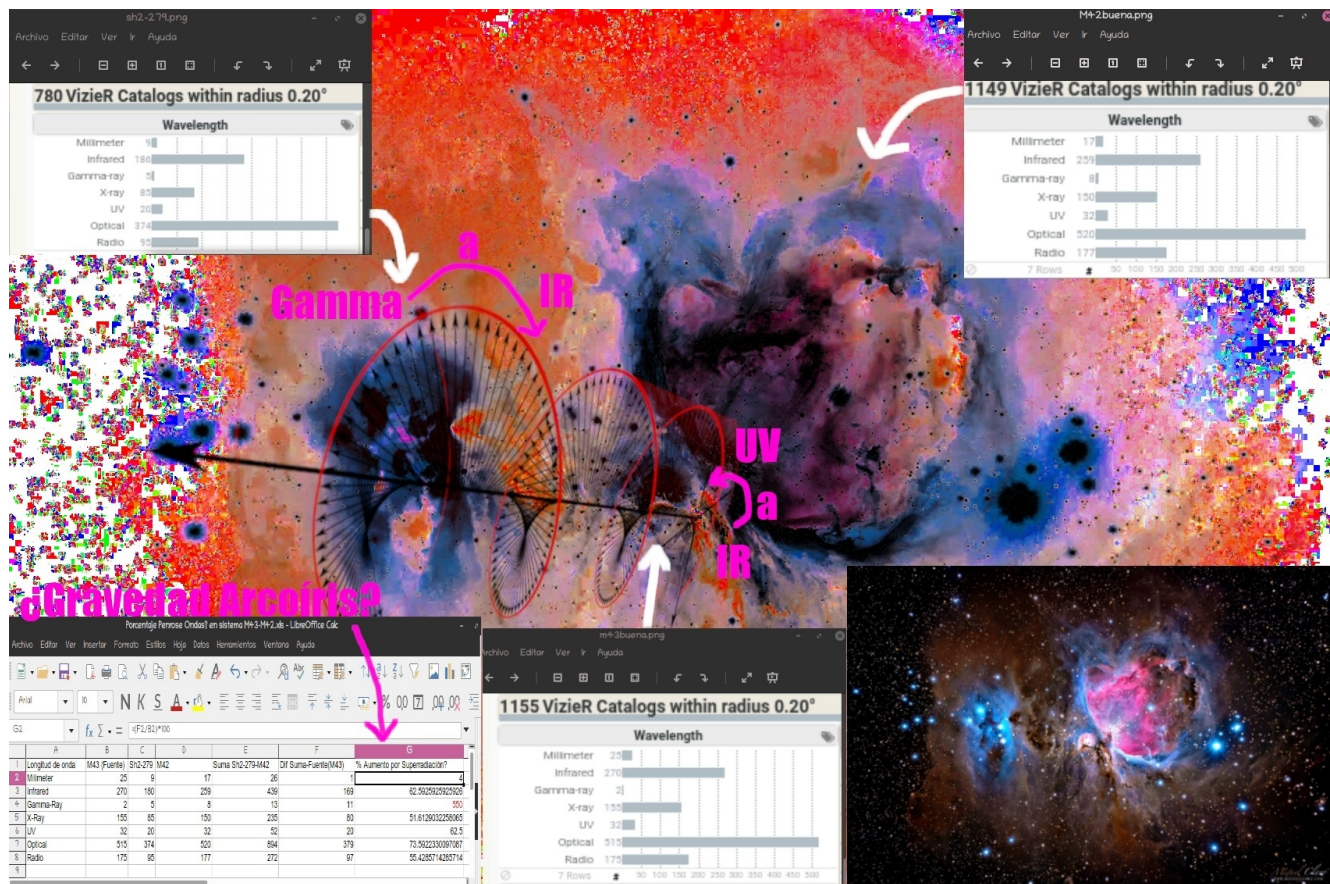
III. Posibles comprobaciones y Teoría M.
 III. 1. ¿Estrella tipo O capturada por Kerr?



III. 2. Posible Proceso Penrose de luz de M43 subdividido en holograma dextrógiro M42 y su efecto Cherenkov o jet levógiro Sh2-279.



III. 3. Sh2-279 como Jet levógiro e indicios de gravedad arcoíris en análisis de longitudes de onda.

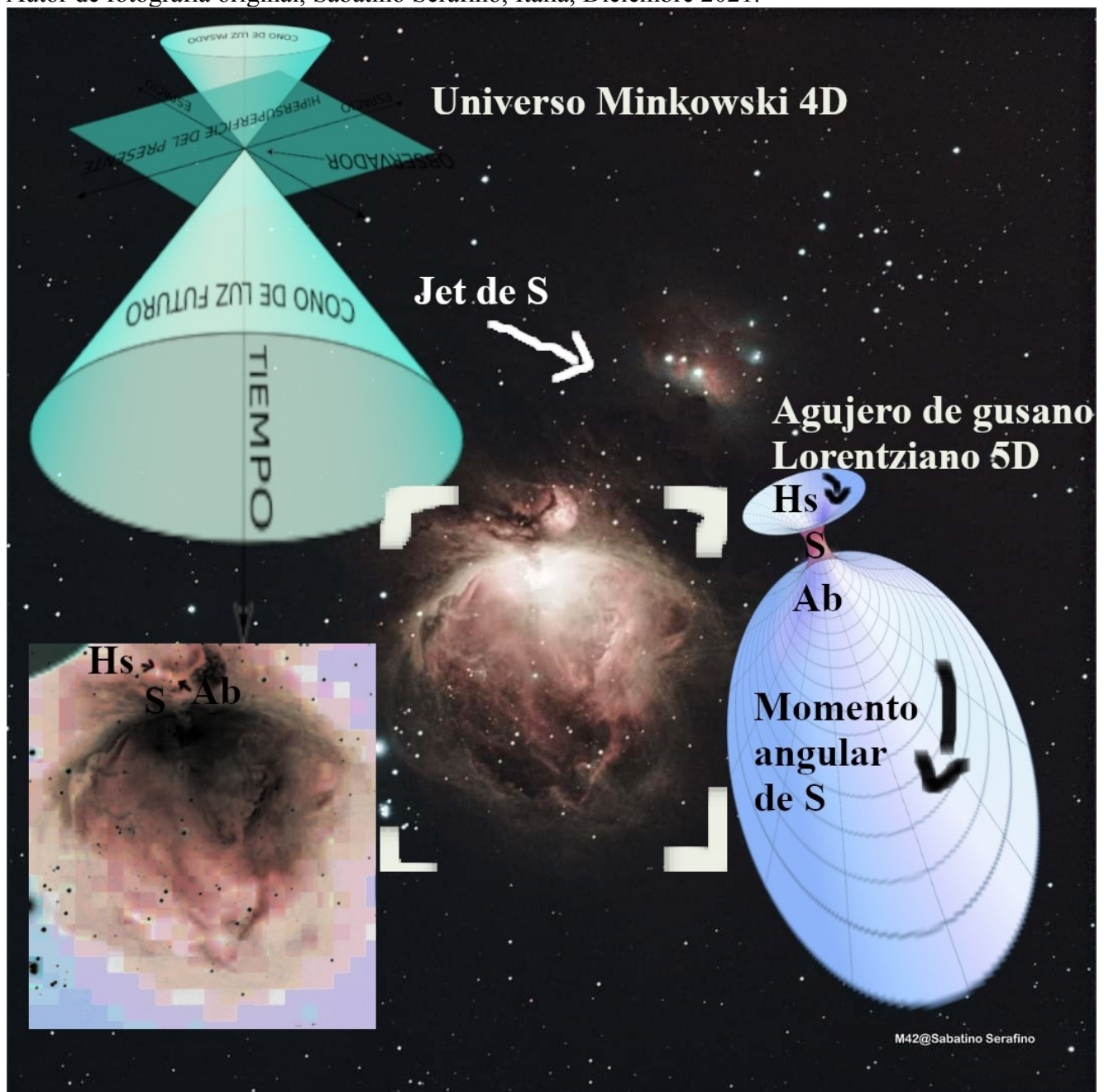


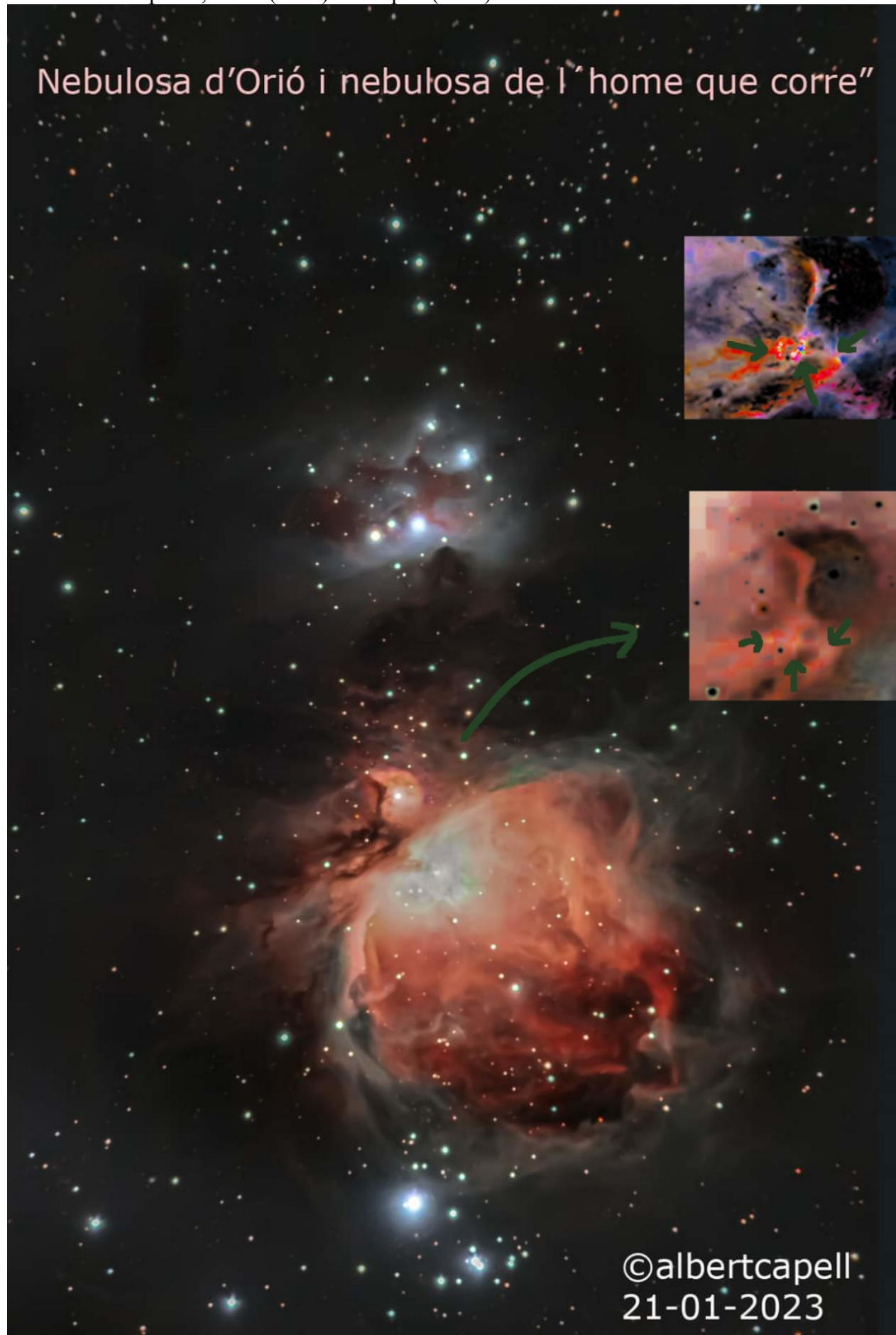
The collage includes several key elements:

- Periodic Table:** A standard periodic table where each element's symbol is replaced by its unique emission spectrum.
- Spectra 1 & 2:** Two small inset spectra at the bottom left, labeled '1' and '2', showing specific emission patterns.
- Nebula Image:** A large, vibrant image of a nebula occupies the center-right, with various colors representing different wavelengths of light.
- Hydrogen Energy Levels:** On the far right, a diagram illustrates the energy levels of a hydrogen atom ($n=1$ to $n=\infty$). It lists the corresponding series (Lyman, Balmer, Paschen, Humphrey's) and their associated photon energies in kJ mol^{-1} .
- Kerr Lens Diagram:** At the bottom left, a diagram depicts a "Gas caliente" (hot gas) source emitting light that passes through a "Kerr" lens, which is represented as a triangle. An observer's eye is shown receiving the light.
- Emission Spectrum Graph:** Adjacent to the Kerr diagram is a graph titled "Espectro de emisión" showing discrete spectral lines. The equation $1/\lambda = E/hc$ is displayed next to it.
- Balmer Lines Label:** The text "Lineas de Balmer" is written vertically on the right side of the nebula image.

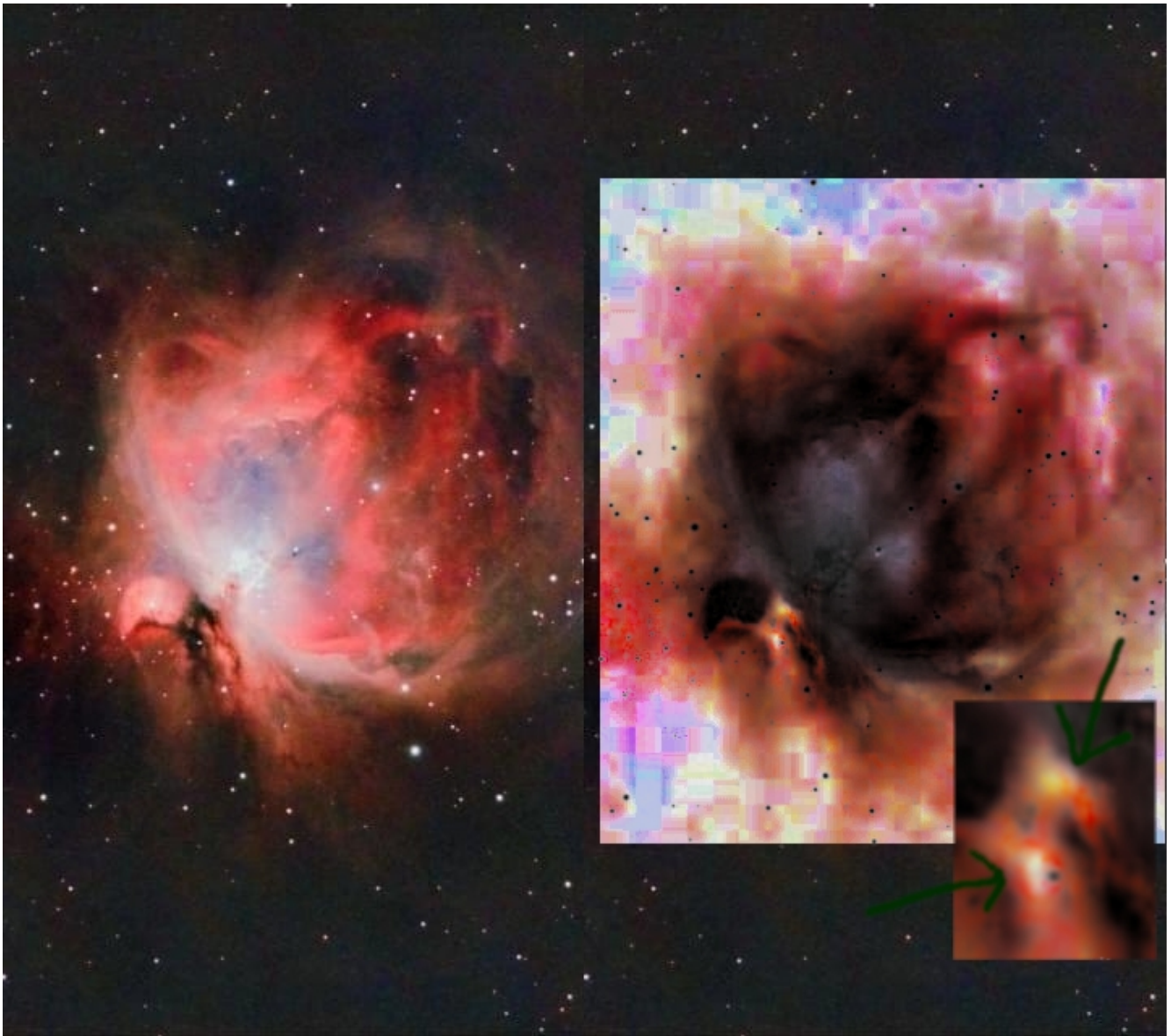
III. 5. Ejemplo de evidencia empírica.

Autor de fotografía original, Sabatino Serafino, Italia, Diciembre 2021.

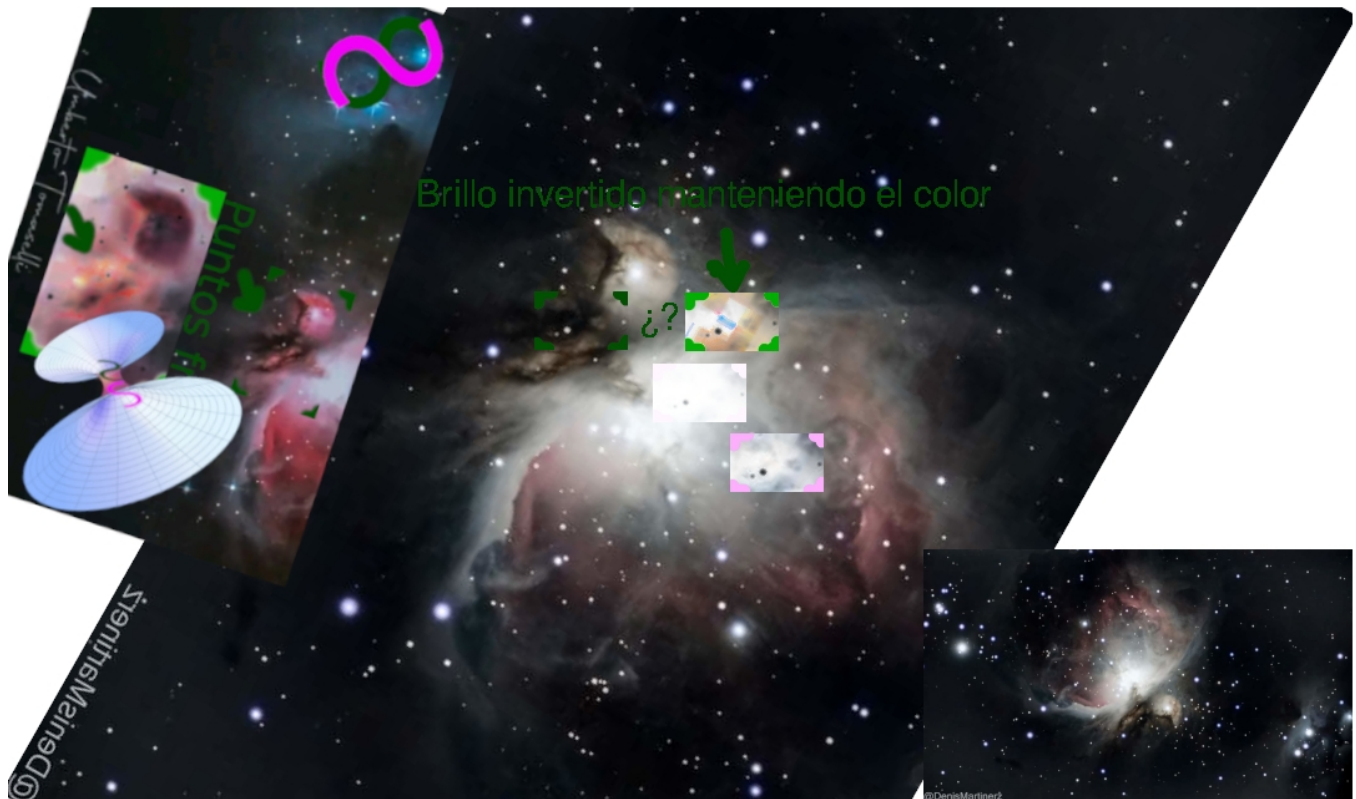




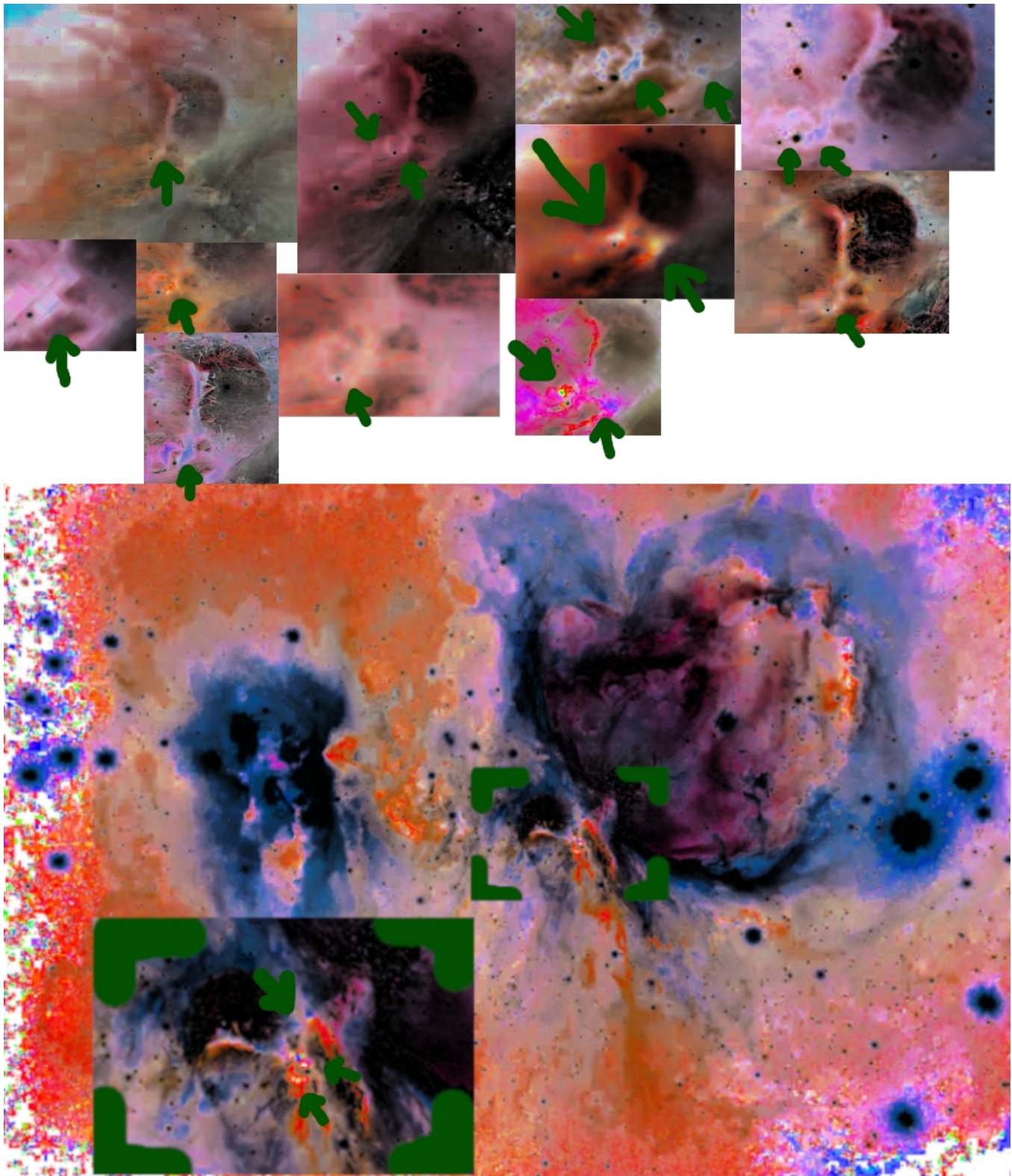
III. 7. Evidencia empírica, autor desconocido (2023).



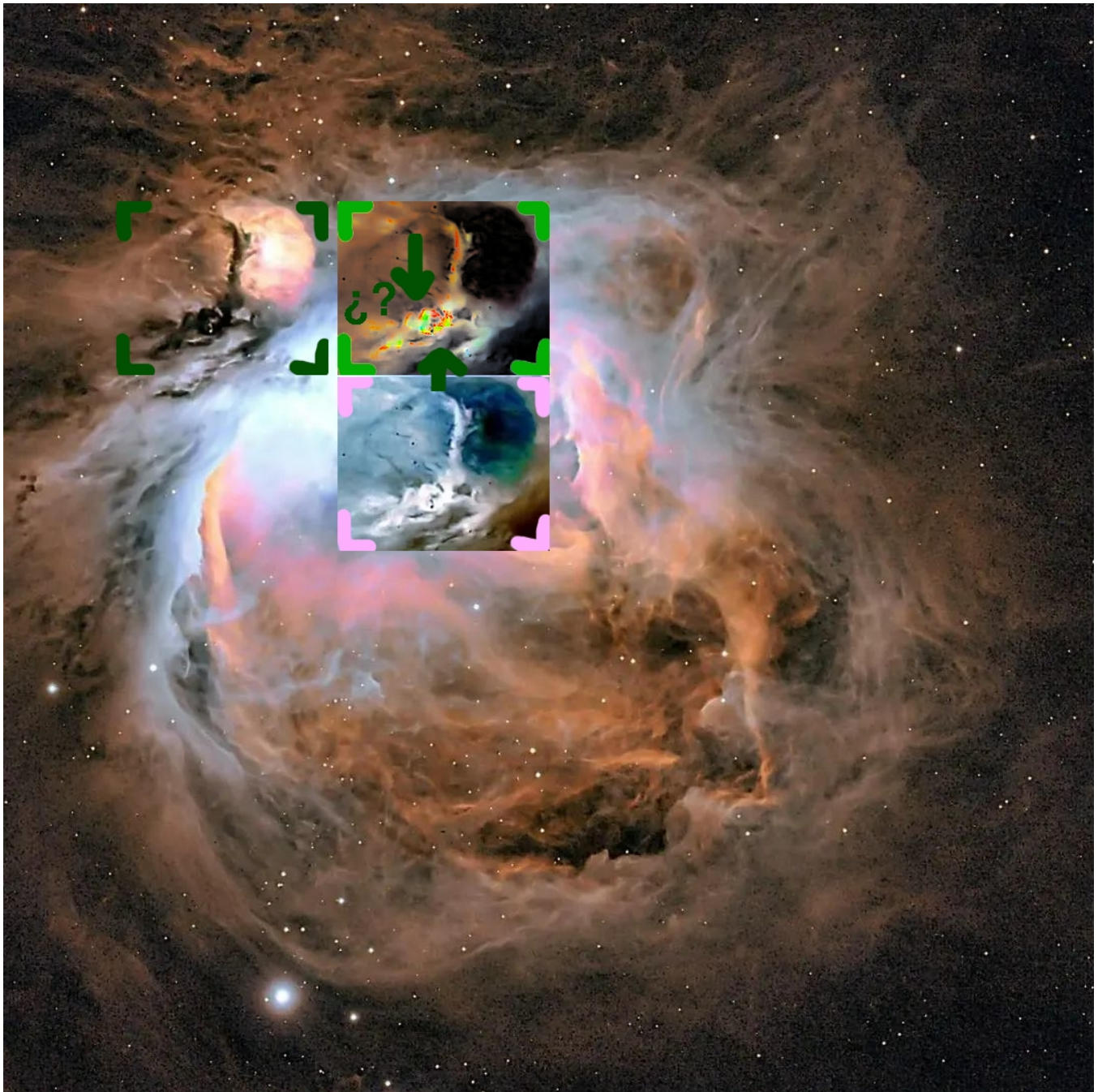
III. 8. Evidencia empírica, comparación Martinerz (2023) y Tomaselli (2023).



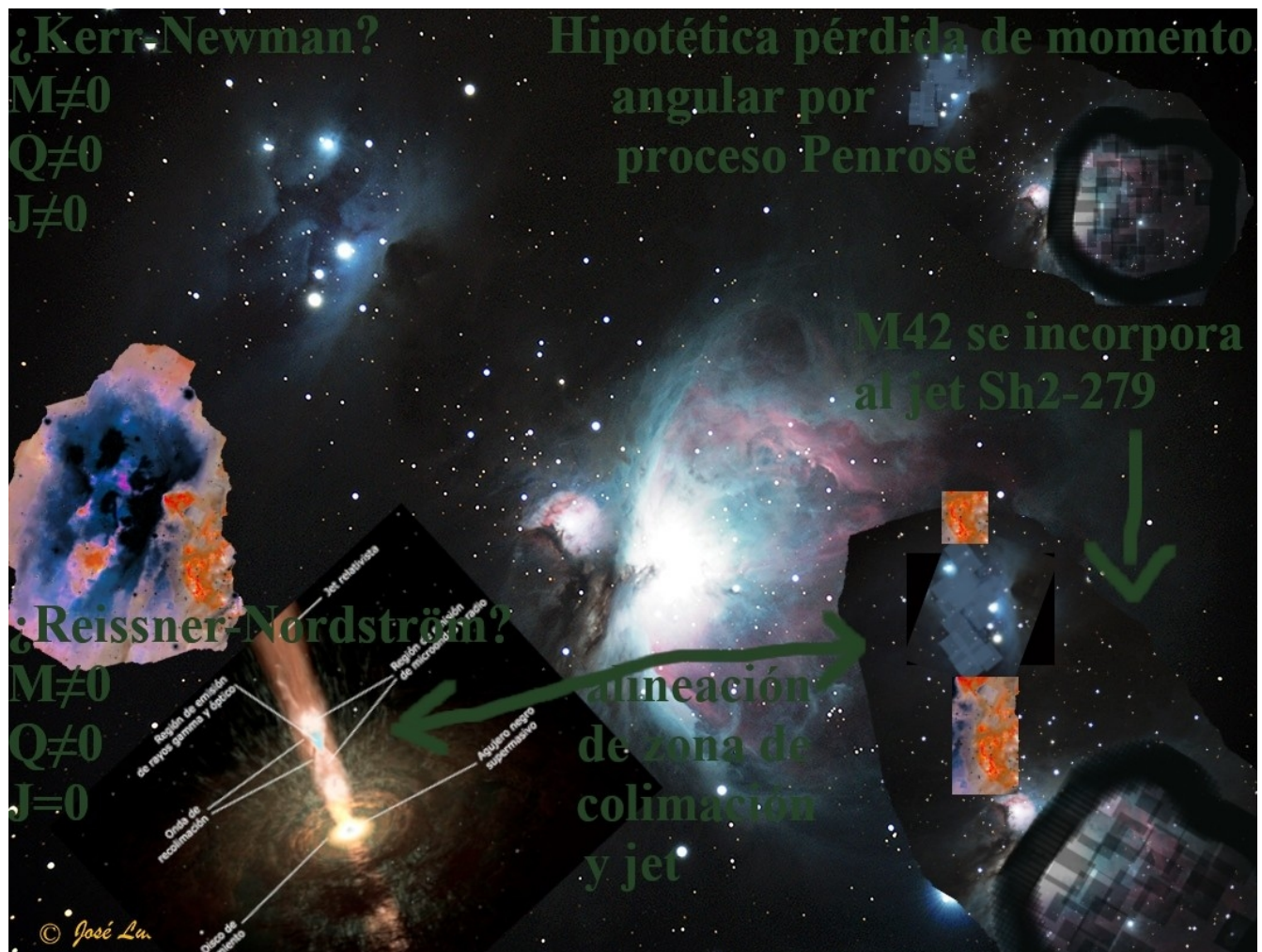
III. 9. Comparación de irregularidades térmicas en polvo entre M43 y M42, Claro (2021) y 11 invertidas autores varios 2021-2023.



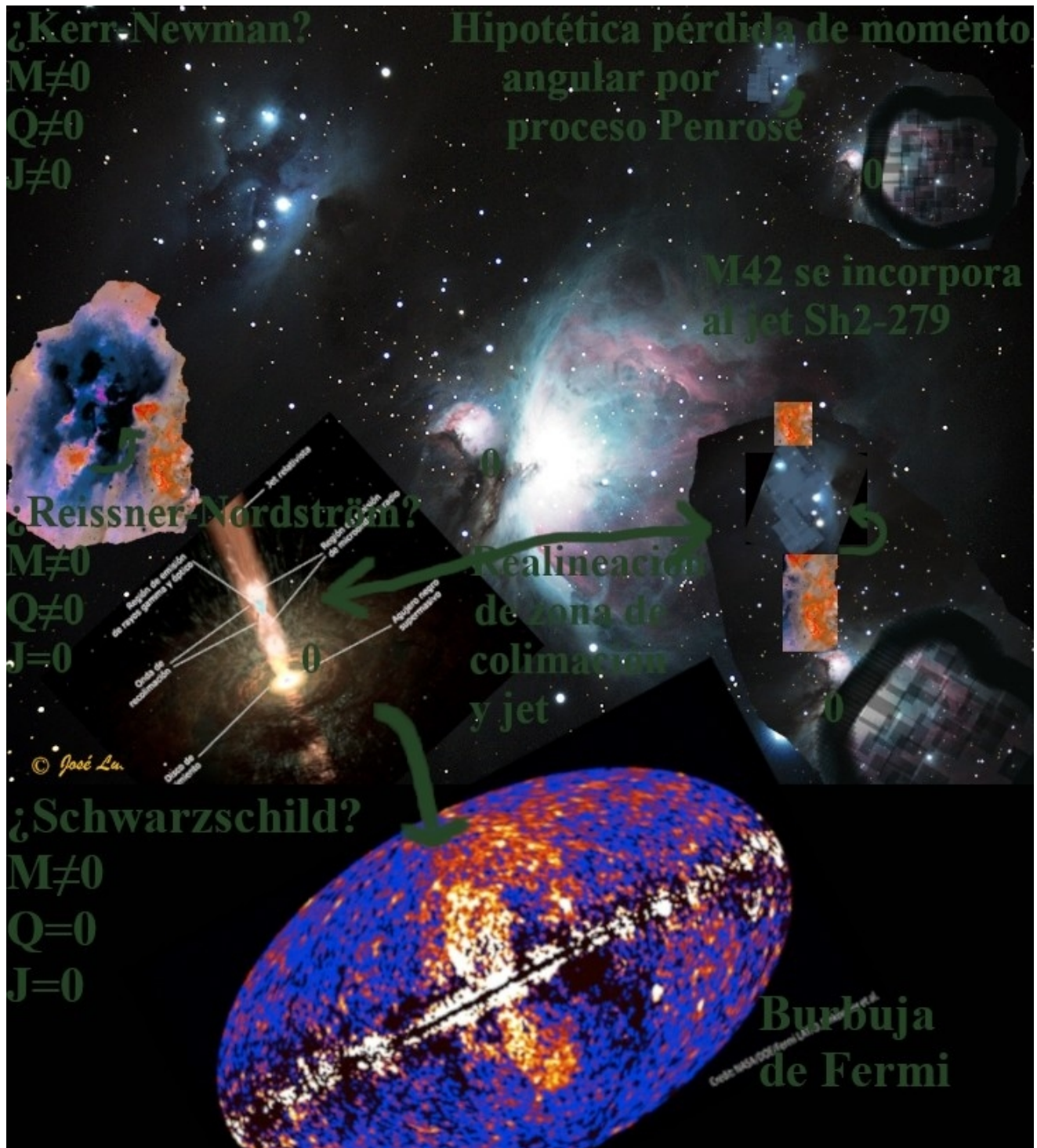
III. 10. Ejemplo de evidencia empírica, @chinomoro_astrofotografia (2023).



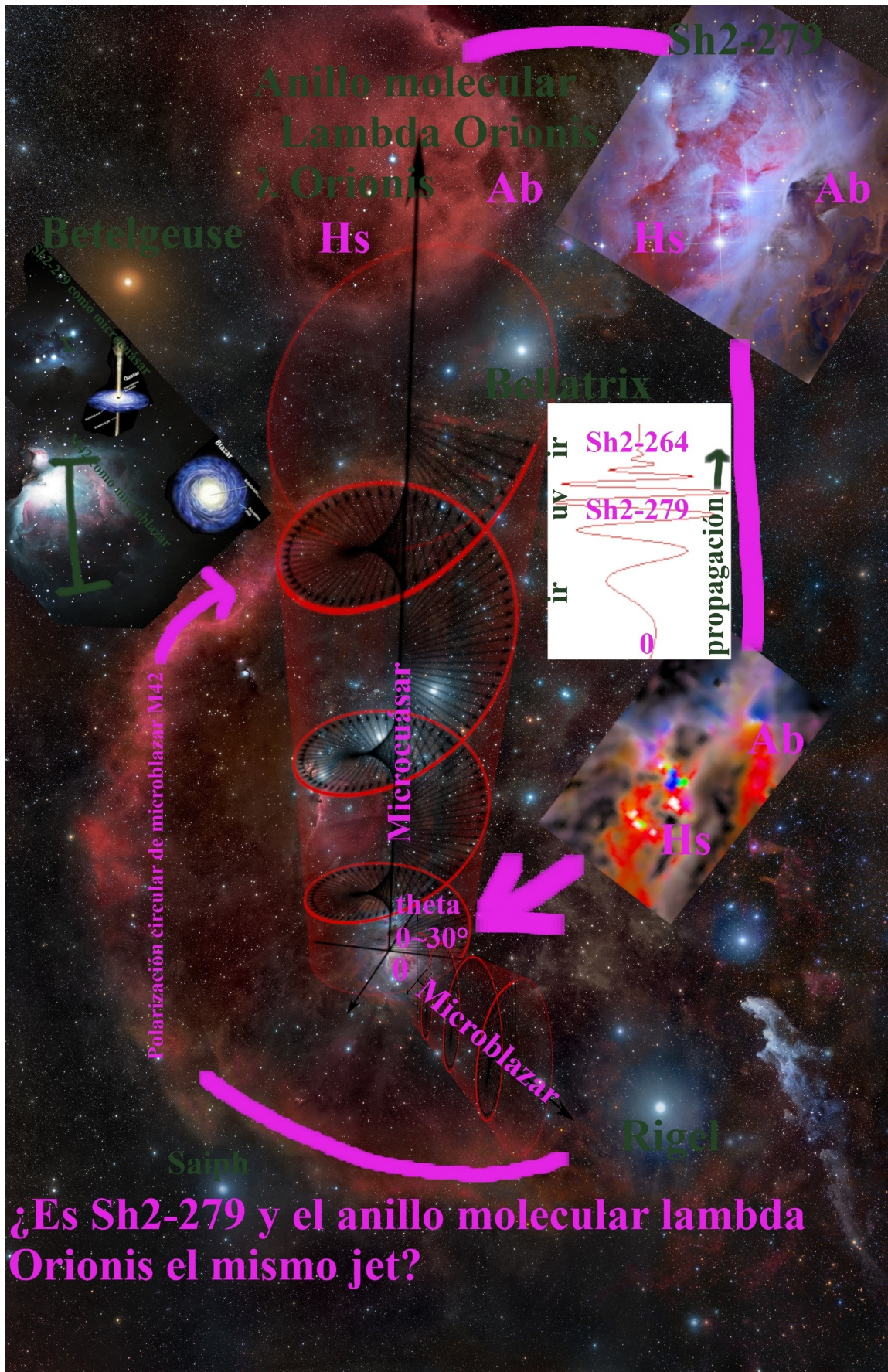
III. 11. Conjetura de Kerr-Newman masa estelar a intermedia y su posible decaimiento en Reissner-Nordström por pérdida de momento angular.



III. 12. Hipotético decaimiento Reissner–Nordström a Schwarzschild, jets vs burbujas de Fermi.



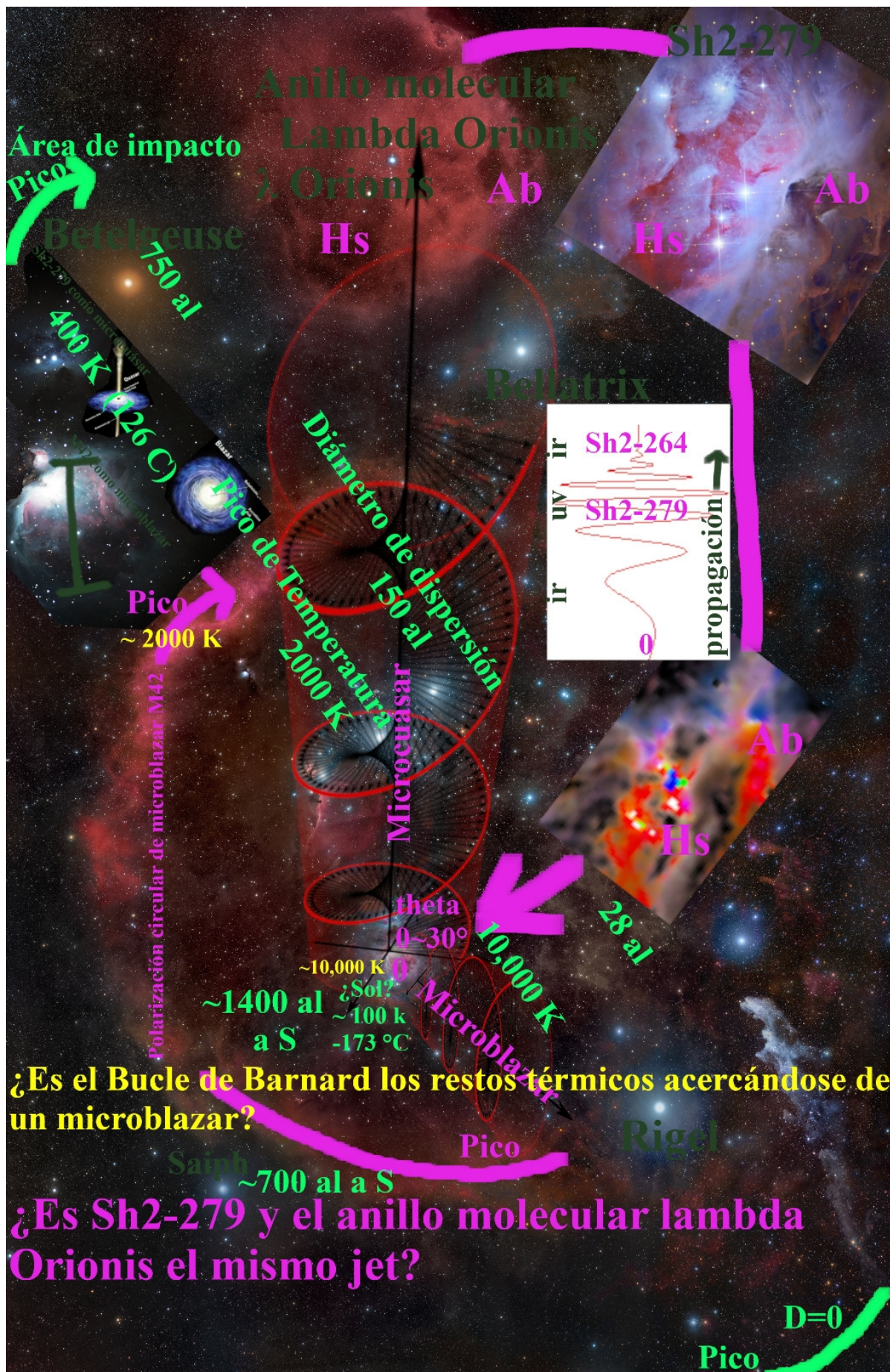
III. 13. Sh2-279 y Sh2-264 como el mismo microcuasar.



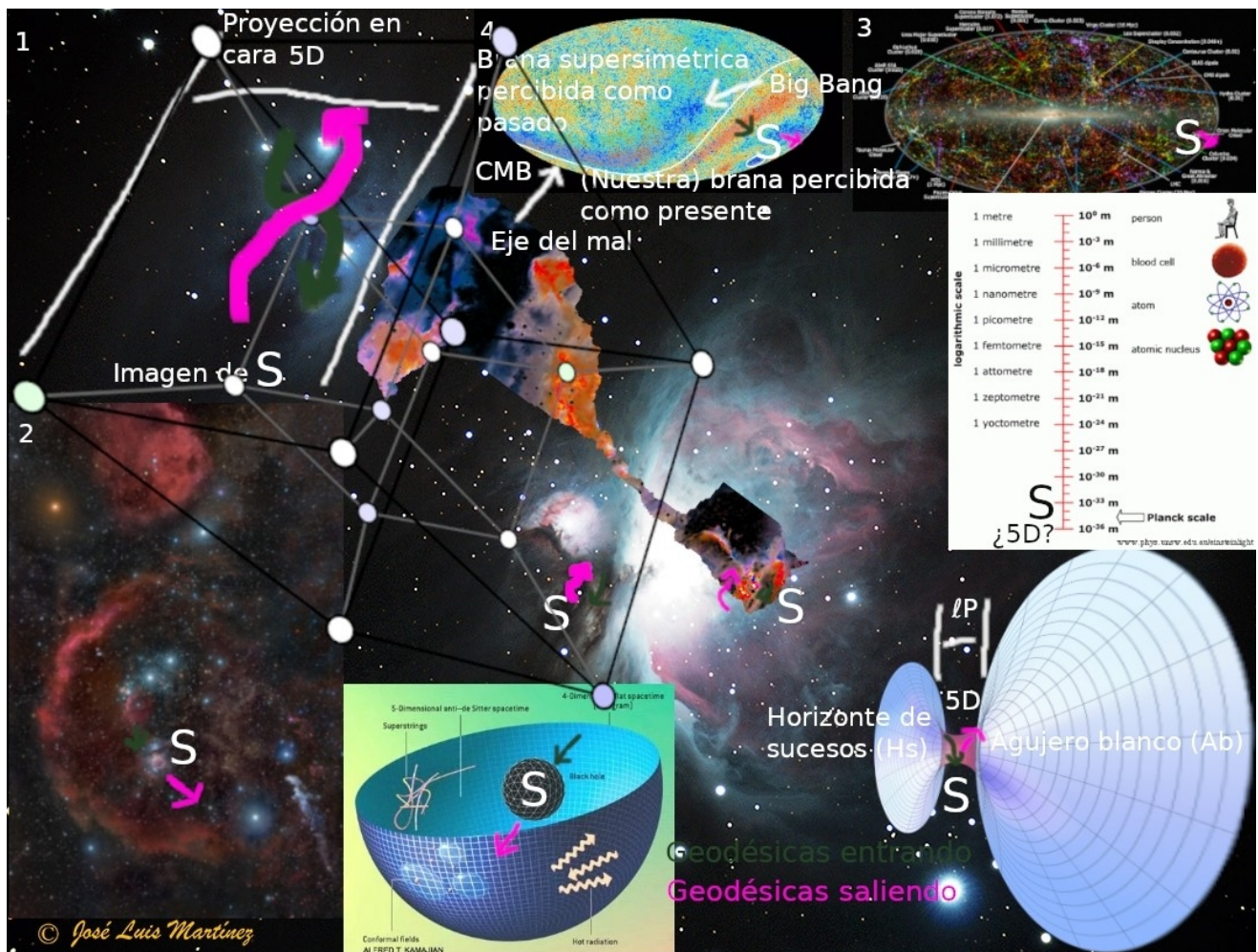
III. 14. Hipotéticas trayectorias de fotones en proceso Penrose y su ruptura de simetría.



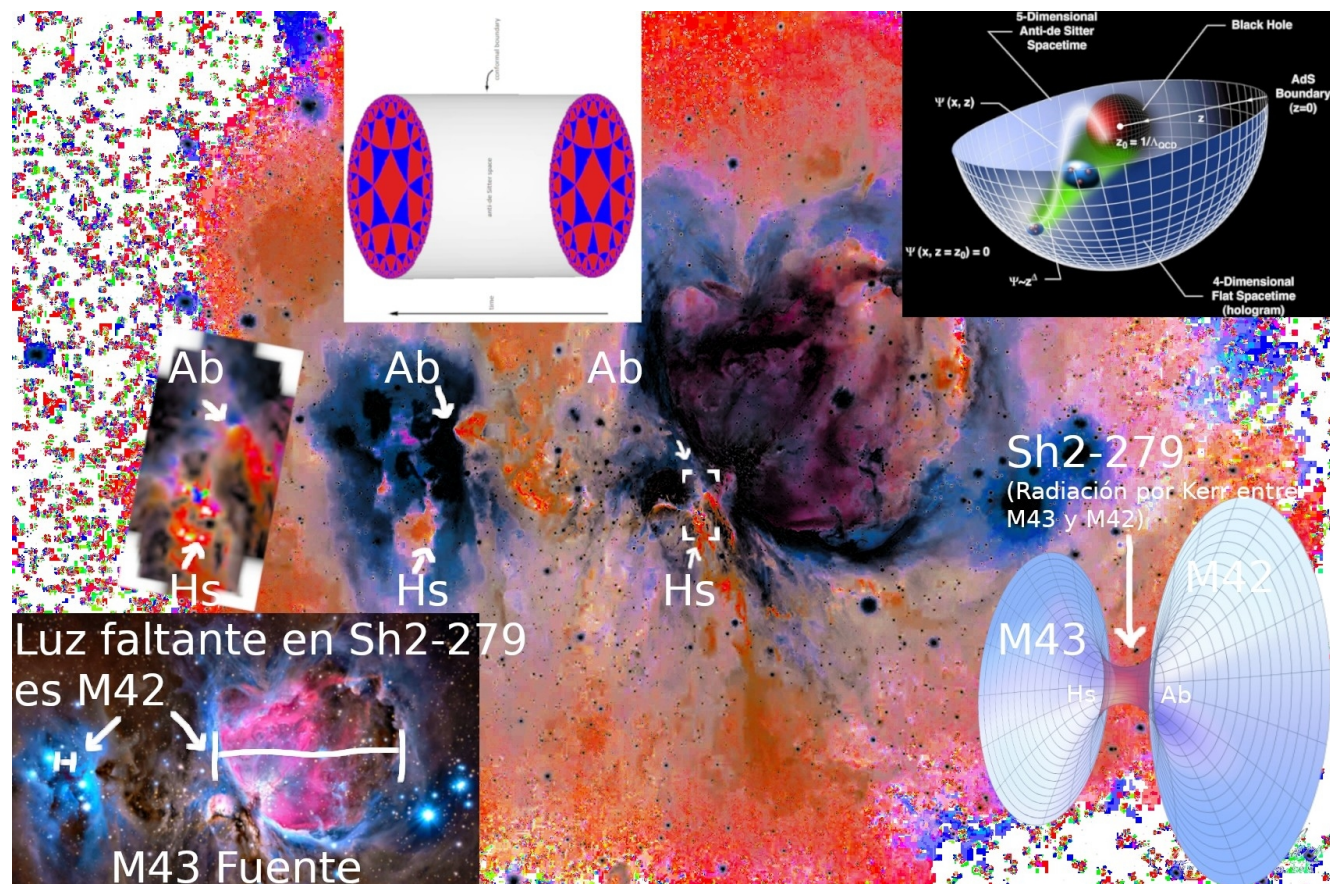
III. 16. Hipotéticas condiciones de impacto.



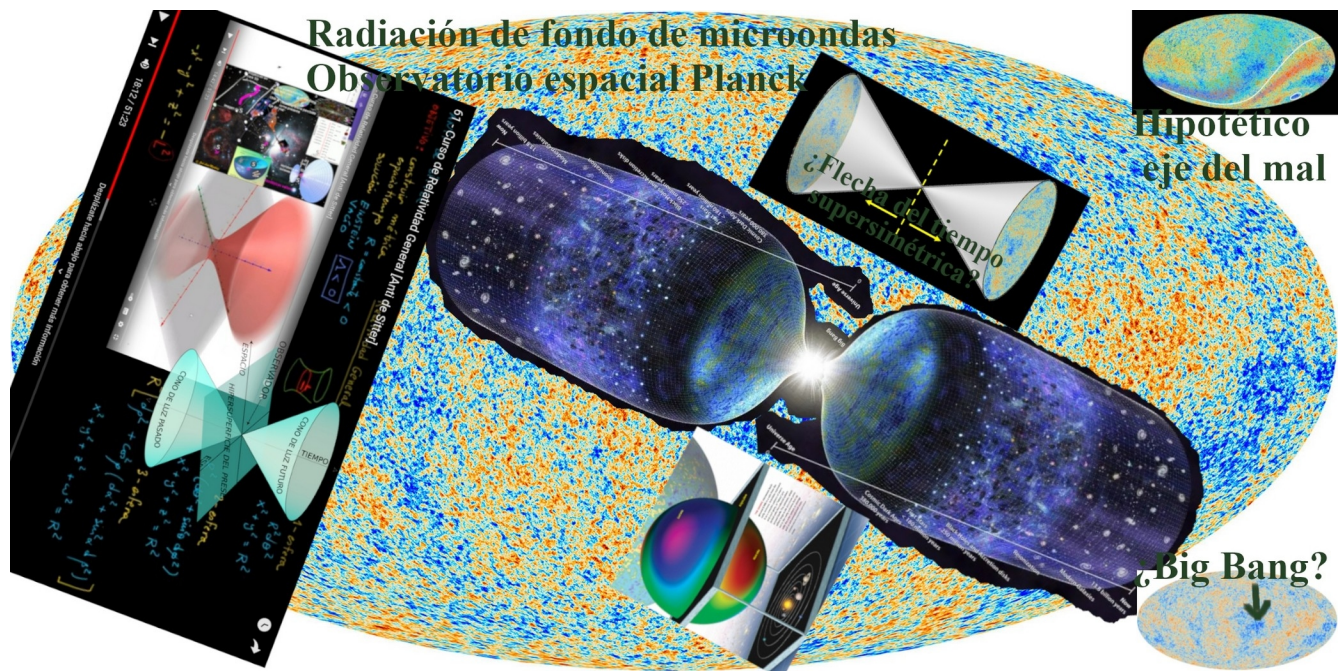
III. II. Hacia una teoría M.



III. II. 1. Correspondencia AdS-CFT en Sh2-279.



III. II. 2. Isotropía de la radiación de fondo de microondas e hipotético eje del mal como evidencia de flecha del tiempo supersimétrica y universo $AdS_{n \geq 5}$.



Radiación de fondo de microondas
Observatorio espacial Planck

¿Flecha del tiempo
¿Inversibilidad?

10⁻¹⁸ m
Atoms
1/10,000
10⁻¹³ cm
Atomic nucleus
1/10
10⁻¹³ m
Proton
1/1,000
10⁻¹⁶ m
Electron, Quark
10⁻¹⁶ m
String and Branes

Big Bang?

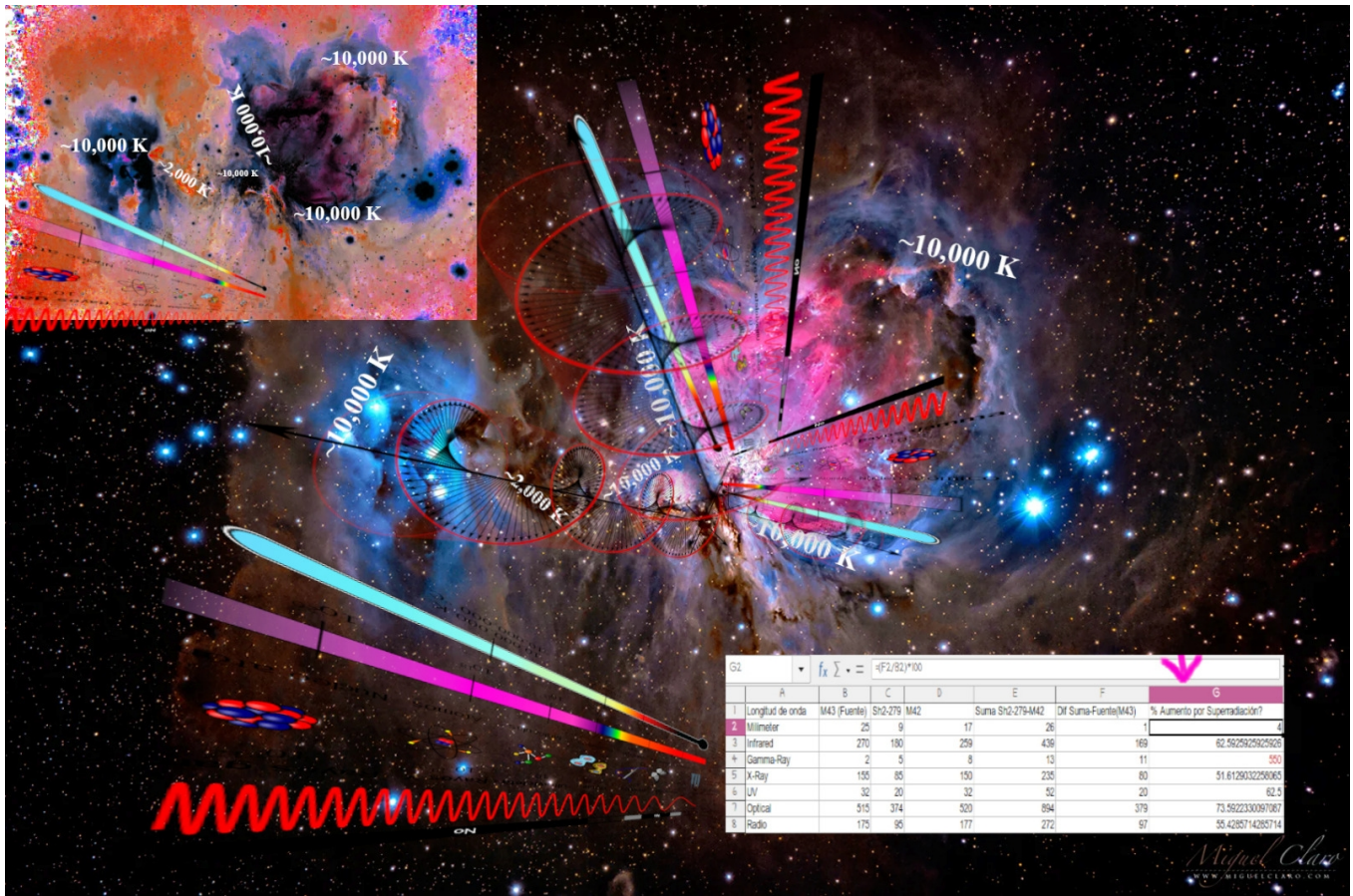
Hipotetico
eje del mal

e⁺
t⁻
e⁻
t⁺

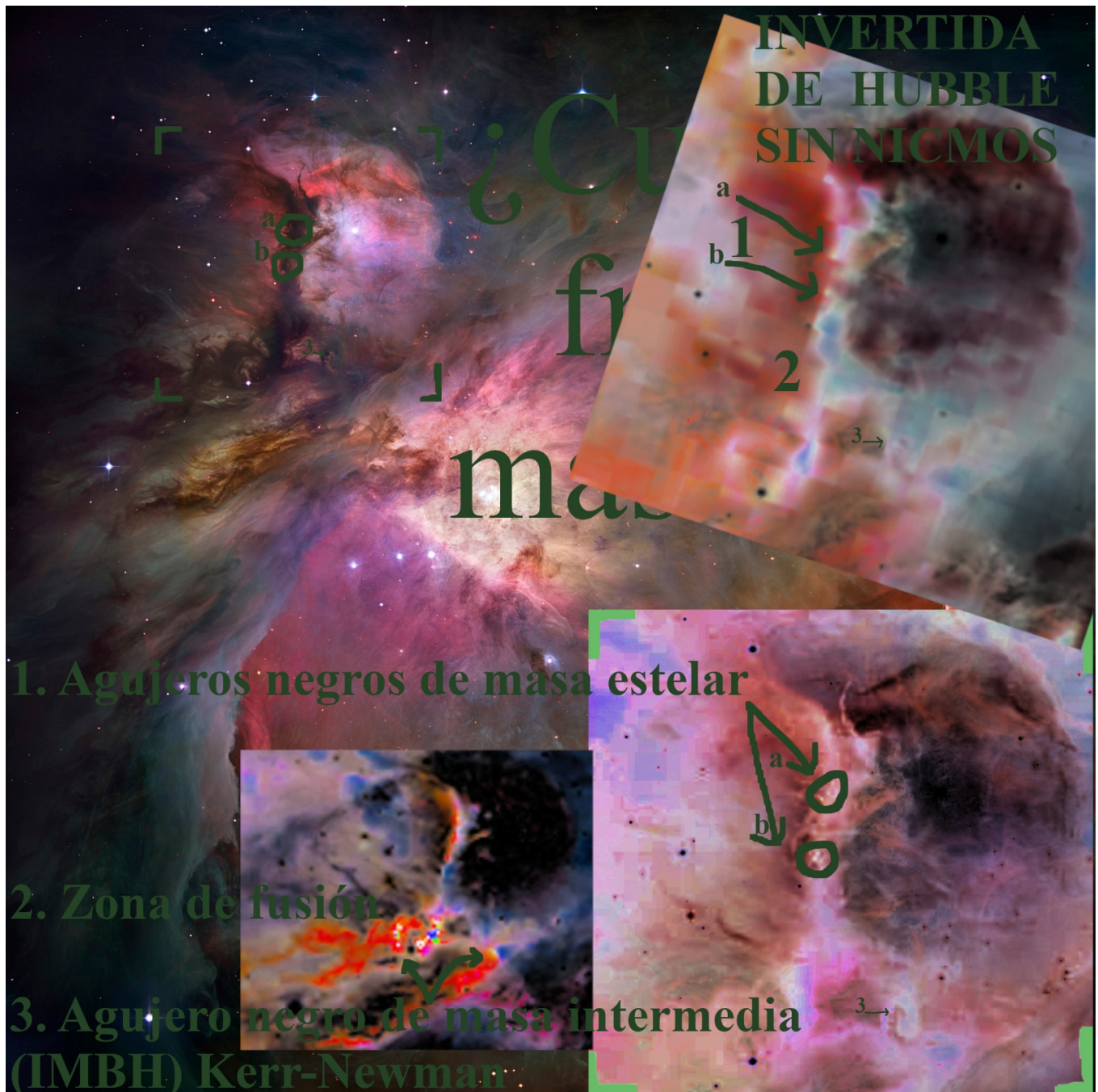
IV. Subconjetura del tercer jet.



IV. 1. Temperaturas y longitudes de onda en subconjuntura del tercer jet.



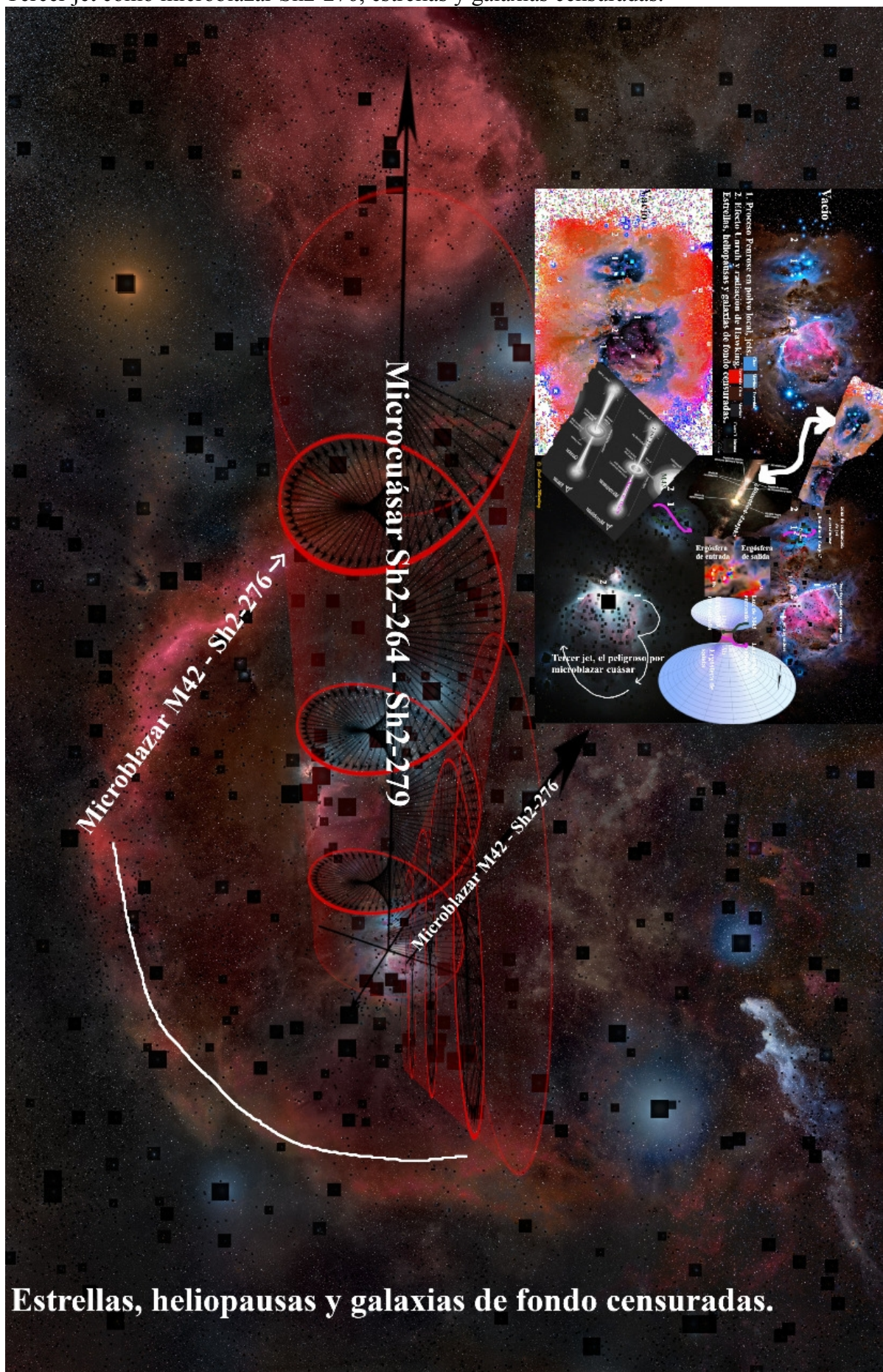
IV. 2. Subconjuntura de estelares a intermedio.



IV. 3. M43, M42 y Sh2-279 , estrellas y galaxias censuradas.

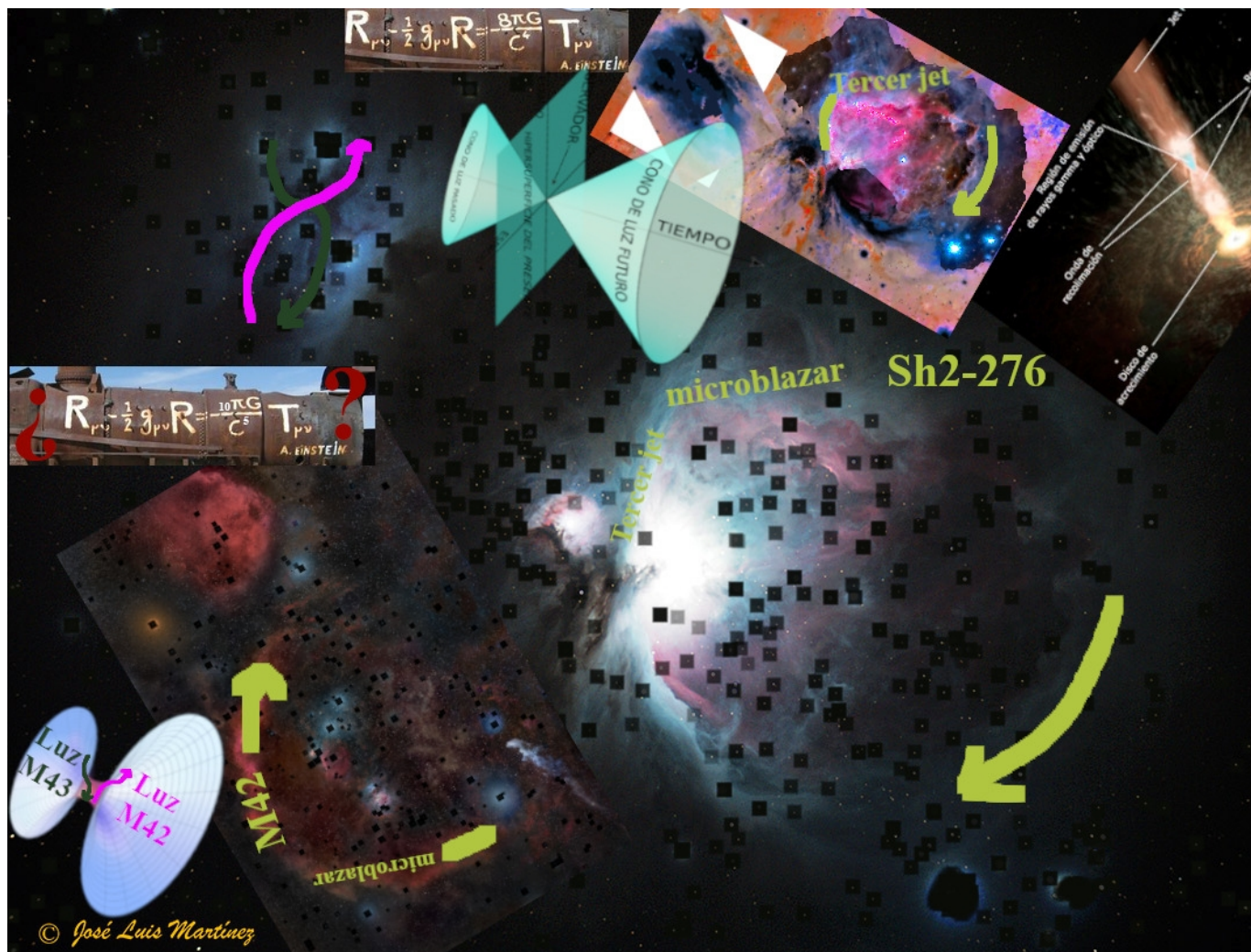


IV. 4. Tercer jet como microblazar Sh2-276, estrellas y galaxias censuradas.

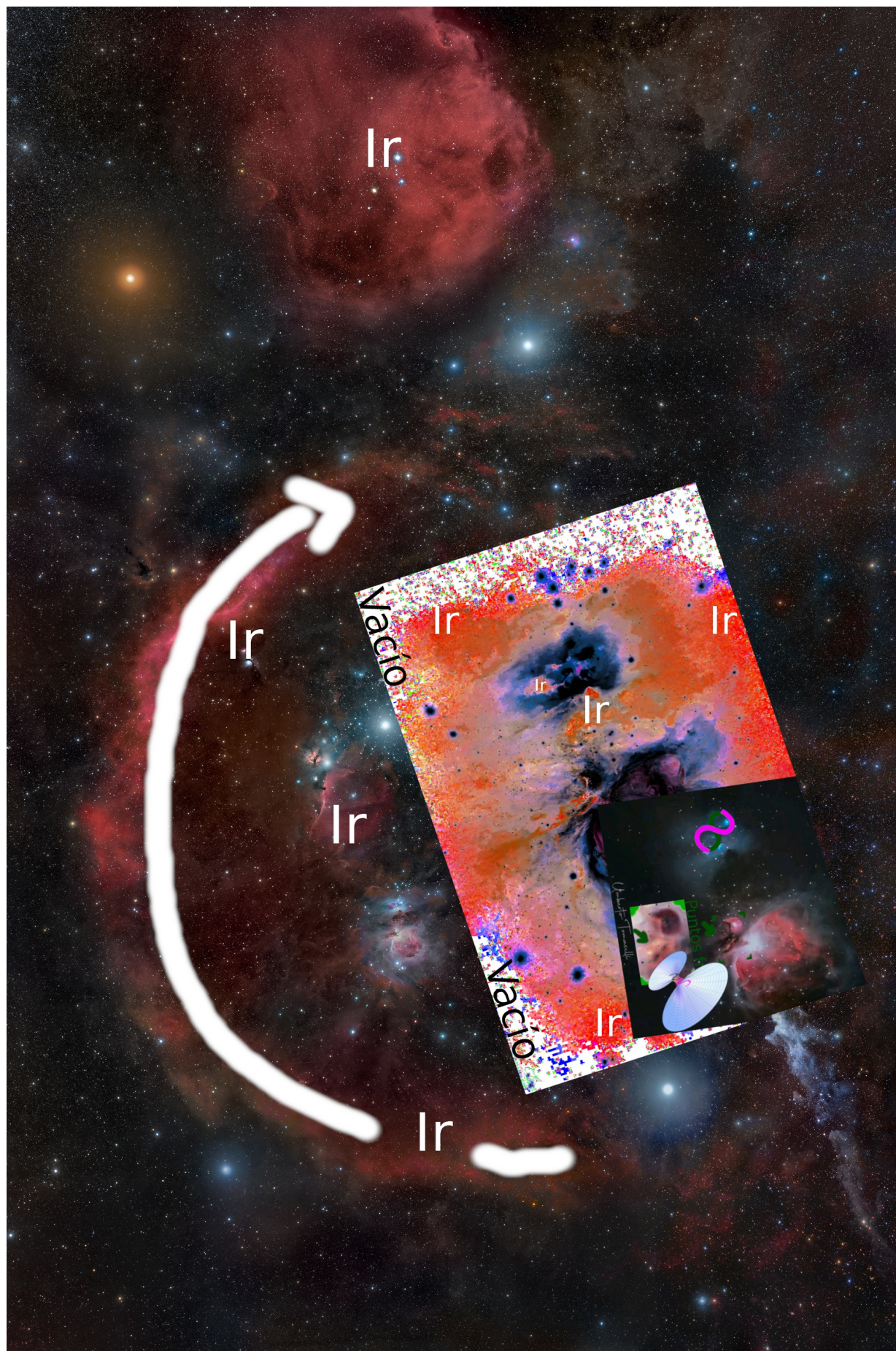


Estrellas, heliopausas y galaxias de fondo censuradas.

IV. 5. Especulación 5D. Estrellas locales y galaxias de fondo censuradas.



IV. 6. Continuidad en el infrarojo entre M42 y Sh2-276.

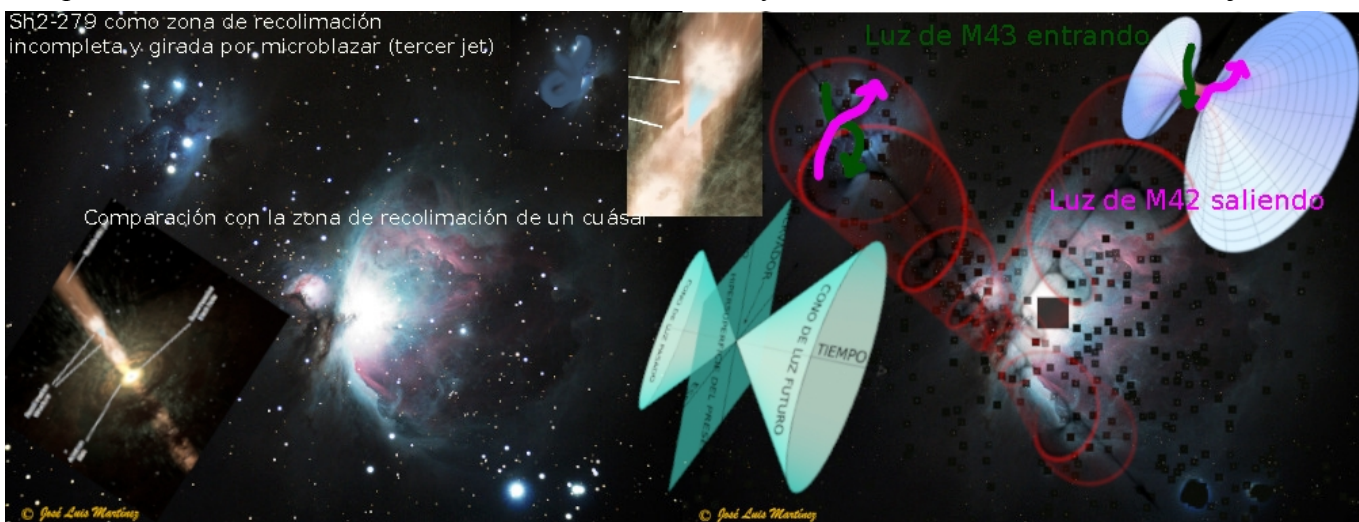


IV. 7. ¿Tiene el universo curvatura constante? Curvatura constante reduciéndose y expandiéndose en tercer jet.

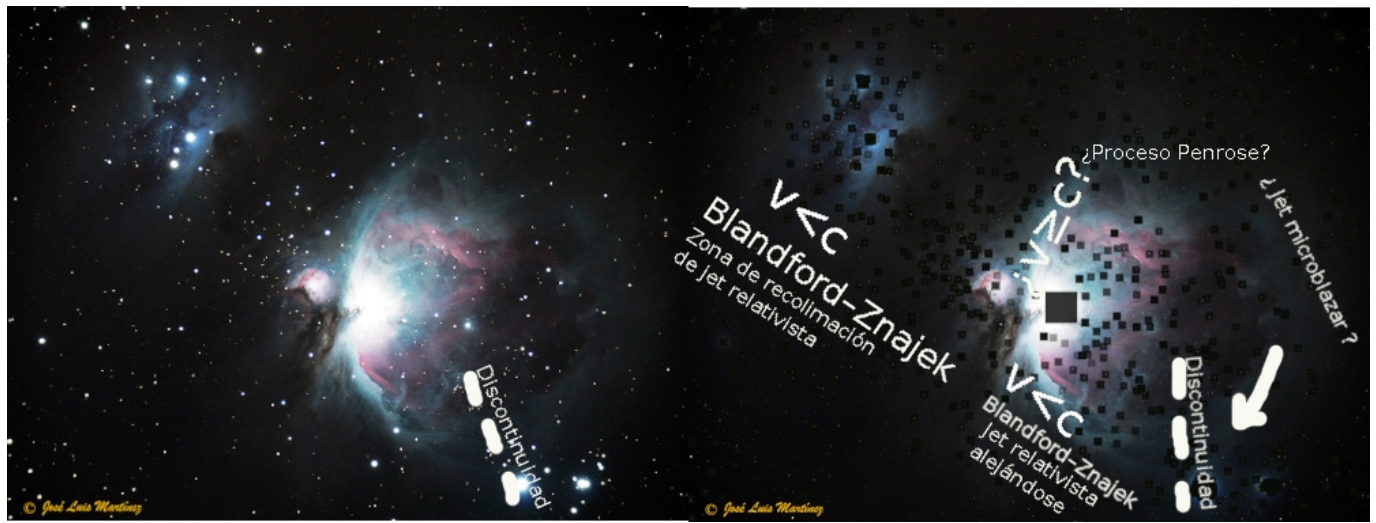


Comparación Sh2-279 con zona de recolimación de cuásar y luz no estelar de M42 como tercer jet.

Sh2-279 como zona de recolimación
incompleta y girada por microblazar (tercer jet)

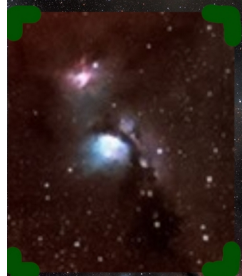


IV.8. ¿ $v \geq c$?



IV.9. ¿Promueve el microblazar M42 - Sh2-276 la formación de estrellas T Tauri?

Emisiones gamma asociadas a estrellas T Tauri
Filócomo et al. (2023)
NGC 2071



Sh2-276

microblazar M42

¿Promueve el microblazar M42 - Sh2-276 la formación de estrellas T Tauri?

IV.10. Gamma en NGC 2071, hipotético proceso Penrose, ganancia de masa y ruptura de simetría.

Emisiones gamma asociadas a estrellas T Tauri
Filócomo et al. (2023)
NGC 2071



Sh2-276

M42

microblazar



¿Promueve el microblazar M42 - Sh2-276 la formación de estrellas T Tauri?

IV.11. ¿Son NGC 2024 y Barnard 33 holografía de microblazar en polvo y estrellas locales? Hipotético vector M42-NGC 2071.

